# 業務報告書

平成元年度

滋賀県立機械金属工業指導所

彦根市岡町52番地

(E) 4"-3" (°) P.25 図11 (\*) (\*) (1) 同心型 P.36 図1 (1) 同心田 → (3) 同心型 (非対<u>極</u>型) (3) 同心型 (非对象型) → (3) 非対<u></u>整型 P.41 図4 (3) 非対象型 ₽.44 図8パタフライ弁の発生キヤピラーション係数 → パタフライ弁の初生キャピラーション係数 → 非対<u>称型(100mm</u>) 非対象型(100mm) → <u>変形</u>型(100mm) 整流型(100mm) → 初生キャピテーション (σ) 初生针化デーション係数(a) 図タ パタフライ弁の発生キヤピラーション係数 → パタフライ弁の初生キャピテーション係数 → 初生キヤピテーション係数 (②) 初生キヤピテーション係数(a) → 図1 O A - \$7ラ(弁の初生キャピラーション係数 (図) → 初生キャピテーション係数 (g) 初生計27-332係数(8) ₽.46 図11パラフライ弁の発生キャピラーション時 → 図11パラフライ弁の初生キャピテーション時 の差圧 の差圧 → 差圧 (kg/cm²) 差圧 (mg/cm²) 図12パタフライ弁の発生キヤピテーション時 → 図12パタフライ弁の初生キャピテーション時 の差圧 の差圧 → 差圧 (kg/cm²) 差圧 (mg/cm²) ₽.47 図13パタフライ弁の発生キヤピラ-ション時 → 図13パタフライ弁の初生キャピラ-ション時 の流速・流量 の流速・流量 図14ペネフライ弁の発生キャピラーション時 → 図14ペネフライ弁の辺生キャピテーション時 の液速・液量 の流速・流量 P.48 図16中 → グラフと共に削除 整流型(150mm) → 表7望小特性のANOVA

(1摺動時の摩擦力)

P.64 表7望小特性のANOVA

(1摺動時の摩

#### ま え 去

わが国経済は、内需の高まりを反映して、長期にわたり好況が続いており、中小企 業においても、概して順調に推移しております。

しかしながら中小企業を取り巻く経営環境は依然として非常に厳しく、新製品の開 発、技術の高度化、マーケティング力の強化、人材育成、労働条件の整備等を進める ことが重要な課題となっています。

このような中で、住宅建設や造船関係の好況は、バルブ需用の伸びをもたらしまし たが、一方、原材料の価格上昇や入手難、人材不足など経営を悪化させる要因も徐々 に顕著になってきました。

また、産業の各種施設がハイテク化するにともない、バルブについてもハイテク化、 多様化しつつあり、エレクトロニクス、システム技術を用いて急速に変化する業界ニー ズに対応する事が重要な課題となってきました。

平成元年度はそのような視点から、新らたに高機能バルブ開発実験棟を建築するな ど、研究業務の充実を積極的に進めてまいりました。

ここにその実績をとりまとめましたので、御高覧賜り御意見いただければ幸いに存 ずる次第であります。

平成2年8月

滋賀県立機械金属工業指導所

所長 上 田 成

Ţ	概	<del>2</del>
	1	3 革 1
	. 2	見 模
	3	3 織
	4	我 員 3
	5	<b>予算および決算 4</b>
	6	は験研究設備の整備状況7
	7	E要設備
11	依頼美	
	1	- 技頼試験数および手数料
	2	<b>设備使用件数および使用料</b>
Ш	指導對	· <del>}</del>
	1	<b>支術アドバイザー指導事業</b> 15
	2	- 般巡回技術指導 15
	3	情易巡回技術指導 15
	4	<b>支術相談</b> 16
	5	雪 査
	6	<b>技術普及講習会</b> 17
	7	「技術技術者研修 ······ 17
	8	出版刊行物
	9	E産技術研究会 18
137	研究第	*
IV	<b>吹</b> たま 1	が ベルブ製品の性能に関する研究
	2	<b>(花</b> 存バタフライ弁の流量特性に関する研究
	3	客射処理材料のかじり摩耗特性の評価研究

# I 概

要

- 1.沿 革
- 2. 規 模
- 3.組 織
- 4.職 員
- 5. 予算および決算
- 6. 試験研究設備の整備状況
- 7. 主要設備

#### 1. 沿 革

昭和21年4月 長浜市に県立長浜工業試験場を設置、機械、繊維の2部制とする。

昭和27年4月 工業試験場を機械部門と繊維部門に分割し、機械部は滋賀県立機械金属工業指導

所と称す。

昭和34年4月 本指導所の整備計画ならびに彦根市に移築を決定

昭和35年10月 庁舎竣工新庁舎にて業務を開始(現別館)

昭和38年3月 実験研究棟(精密機械加工室、熱処理中間試験室、ジグボーラ室、その他)を増

築

昭和43年1月 同上2階実験研究室を増築

昭和49年10月 本館 竣工

昭和62年12月 バルブ性能試験装置を設置

昭和63年4月 滋賀バルブ協同組合が庁舎に移転

平成2年3月 高機能バルブ開発実験棟を増築

#### 2. 規 核

敷地面積

3, 400.69 m<sup>3</sup>

建物総面積

2, 447. 98 m<sup>3</sup>

**t** 12

1,017.96 ㎡ (鉄筋コンクリート三階建)

実験棟:

562.53 ㎡(鉄筋コンクリート補強ブロック平屋建)

 $\epsilon$ 

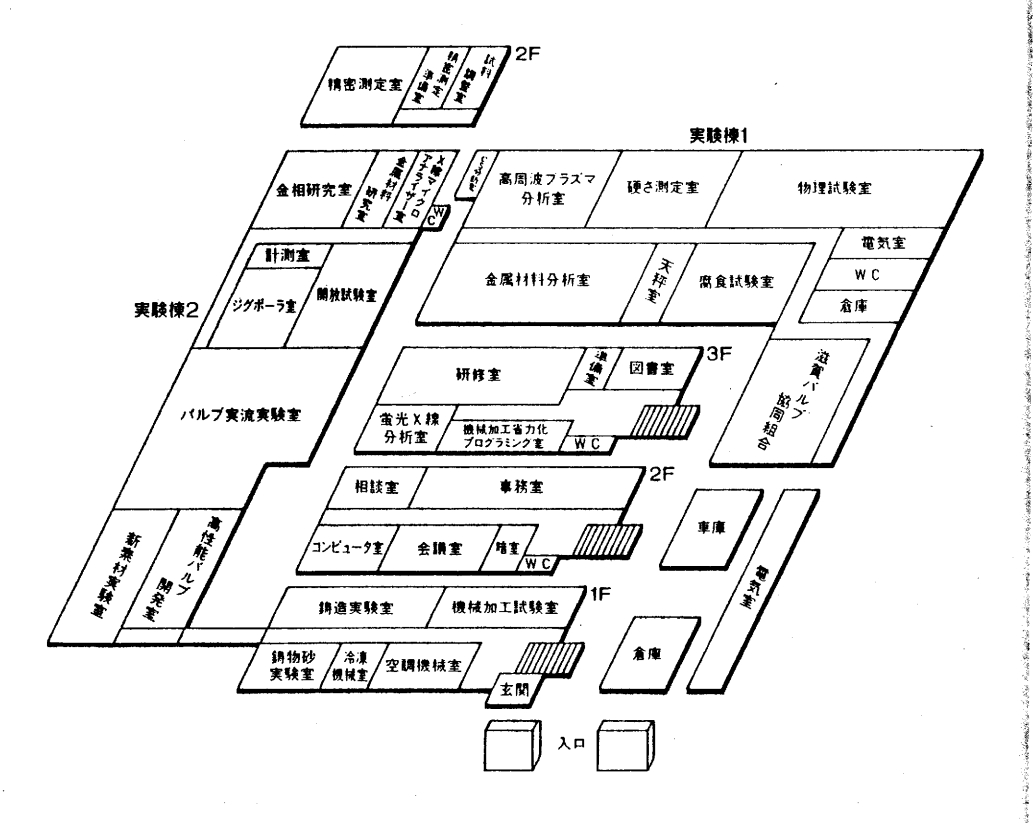
681.56 m³ (鉄筋コンクリート補強ブロック―部二階建)

その他

185.93 m²

(平成2年4月1日現在)

#### 建物配置図



### **3**. 組 織 (平成元年 4 月 1 日現在)



### 4. 職 員

#### 4.1 職員構成(平成元年4月1日現在)

所		長			上	H	成	男
専	門	員			河	崎		勲
	"				村		明	義
庶	務	係	主	査	佐	藤	清	実
指	導	係	係	長	松	/11		進
			主	査	樋		英	司
			"		佐	藤	真知	力夫
			主任担	支師	宮	JH.	栄	_
			"		酒	井	_	昭
嘱		託			井	上	道	子

#### **4.2 職員の異動**(平成2年4月1日)

		*	折			I	3
樋		英	司	指導	係長	主	查
松	Ш		進	試験	研究係長	指導	係長
(転	入)						
藤	田	芳	彦	主	査	(木之	本土木)
西	Щ	哲	郎	主任	技師	(振 異	協会)
(転	出)						
佐	藤	清	実	(福祉	高年課)	主	査
佐	藤	真知	17夫	(振 興	協会)	主	査

# 5. 予算および決算

# (1) 平成元年度 歲入予算執行状況

(単位:円)

¥	4		3	予算通知額	調定額	収入済額	不納	収入
款	項	B	節	1 37-42/414/	<b>44</b>		欠損額	未済額
06 使 用 料 及び手数料				4,008,000	3,892,230	3,892,230	0	0
	01 使 用 料	07 商工使用料	04 機 械 金 属 工業指導所	561,000	589,150	589,150	0	0
	02	04 商工手数料	05 機 械 金 属 工業指導所 試 験	3,447,000	3,303,080	3,303,080	0	0
08 財産収入				500,000	500,000	500,000	0	0
	02 財 産 売払収入	02 財 産 売払収入	21 機 械 金 属 工業指導所	500,000	500,000	500,000	0	0
12 雑 入				120,000	96,000	96,000	0	0
	07 雑 入	05 雑 入	38 経営技術等 研修講習 受講料	120,000	96,000	96,000	0	0
. 4	合 計				4,488,230	4,488,230	0	0

## (2) 平成元年度 歲出予算執行状況

(単位:円)

			科				目				予管会達類	支出済額	残 額	備考
	款		項	B		節		細	. 1	節	1. 异口压锅	又山伊顿	22, 69	JAHS ~3
07 商	ı	費									30,434,387	30,434,387	0	
			01 商工業費								1,946,140	1,946,140	0	
				03 工業振興費			: .				1,946,140	1,946,140	. 0	
					01 報		ĭ₩				780,000	780,000	0	
					08 報	償	費				125,000	125,000	0	
					09 旅		費				954,140	954,140	0	
					11 需	用	費				69,000	69,000	0	
								01 食	糧	費	10,000	10,000	0	
								02 そ 需	の用	他費	59,000	59,000	0	

	<del></del> 科				目				77 AM A 37 AM		- A	
款	項	目		節		細		節	予算令達額	支出済額	残 額	備考
			12 役	務	費	02 そ 役	の務	他費	18,000	18,000	0	
	02 中小企業費								28,488,247	28,488,247	0	
		02 中小企業 指 導 費							513,010	513,010	0	
			08 報	償	費				101,750	101,750	0	
			09 旅		費				161,260	161,260	0	
			11	用	費		-		199,000	199,000	0	
				-		01 食	糧	費	4,000	4,000	0	
						02 そ 需	の用	他費	195,000	195,000	0	
			12 役	務	費	02 そ 役	の務	他費	5,000	5,000	0	
			14 使用	月料 月	 及び 料				46,000	46,000	0	
		03 中小企業 振 興 費							350,000	350,000	0	
			需	用	費	02 そ 需	の用	他費	350,000	350,000	0	
		07 機械金属工 業指導所費							27,625,237	27,625,237	0	
			01 報		酬				972,000	972,000	0	
			04 共	済	費				122,083	122,083	0	
			08 報	償	費				353,550	353,550	0	
			09 旅		費		**		1,628,424	1,628,424	0	
			11 需	用	費				12,693,304	12,693,304	0	
						01 食	糧	費	245,189	245, 189	0	
						02 そ 需	の用	他費	12,448,115	2,448,115	0	
			12 役	務	費	02 そ 役	の務	他費	2,091,774	2,091,774	0	

	科				目			<b>予管△法</b> 施	支出済額	E# 4/6	備考
款	項	B		節		細	節	了异节廷彻	<b>火田好</b>	7.7.	7 万
			13 委	託	料			1,394,022	1,394,022	0	
						01 電 気 業務委		222,348	222,348	0	
						02 恒 温 点検委		184,370	184,370	0	
						03 警備 委 託	業 務 : 料	484,512	484,512	0	-
						04 浄 化 維 持 業務委	管理	112,270	112,270	0	
						05 ボイ 整備 <b>芸</b>		84,040	84,040	0	
			-			06 火災備 点 <b>検</b> 委	保安	35,844	35,844	0	
						07 排 出 分析委		110,988	110,988	0	
						08 冷凍機 点検委		159,650	159,650	0	
			14 使用 <sup>9</sup> 賃		び 料			67,480	67,480	0	
			18 備品	購入	費			8,107,200	8,107,200	. 0	
			19 負担 及 交	金補	助			195,400	195,400	0	
				,		01 冷凍 保安! 負 担	嘉 会	7,000	7,000	0	
						02 各種: 負 担		188,400	188,400	0	
	合			ā	it			30,434,387	30,434,387	0	

### 6. 試験研究設備の整備状況(平成元年度)

1)高機能バルブ開発実験棟の建設 (平成元年度日本自転車振興会補助)

概要

構 造:鉄骨造り 平屋建て

建築庁面積:実験棟180 m'、渡り廊下14m<sup>a</sup>

実 験 室:高性能バルブ開発室、新素材試験室

実流性能試験室(改造、拡張)

### 2) 試験研究設備の整備

		設	仿	Ħ	名		数量	型	式		製	造	者		備		考
Γ	摩	耗	テ	ス	9		1台	O P —	3 0 0	日2	<b>ド</b> コン	トラ	クタ-	- (株)	日本自転	車振興会	会補助物件
ſ	振	動騒	音	解	近 装	置	1式	C F —	3 6 0	㈱	小	野	測	器		"	
Γ	ビ	デニ	才 円	E =	- <i>タ</i>	_	1台	TH-3	3 A V 1	松	下電	器	産業	(株)	県	単	
T	パー	- ソナ	-ル=	ッンも	°а-	9	1台	PC9801	-RX21	(株)	B	本	電	気	"		

# 7. 主 要 設 備

品 名	規格	購入年月日	備考
万能研削盤	三井精機製MUG25×50	37. 6. 29	日本自転車振興会 補助物件
治具中ぐり盤	三井精機製JBD型№ 3	38. 6. 17	"
平面研削盤	三正製作所製G-D64型	38. 12. 20	"
万能工具研削盤	牧野フライス社製C―40	38. 12. 23	"
ブロックゲージ	津上製PTW A級	39. 8. 18	"
万能顕微測定器	三井精機製MLD 1000	40. 1.14	"
万能工具顕微測定器	津上製T-MCL2型	38.	"
旋盤	大阪工作所製360 HB-X型	43. 3. 19	"
超硬工具研磨盤	アサヒダイヤモンド工業製 SDG型	43. 9. 10	"
表面粗さ計	テーラーボブソン社製 タリサーフ4型	43. 11. 30	"
万能フライス盤	日立精機製MS型U	43. 12. 28	中小企業庁補助物件
プロジェクション オプチメーター	カールツアイスイエナ社製 M O D20/20	44. 10. 21	日本自転車振興会 補助物件
キャス試験機	東洋理化製CASSER―1	44. 10. 29	"
流速効果腐食試験装置	山崎精機研究所 V F — 1	. "	"
カット・オフ(帯鋸盤)	アマダ製CRH-300 S	45. 8. 30	"
ショア硬さ試験機	三光計器製S44計量研型	45. 9. 25	中小企業庁補助物件
ブリネル硬度計	三精工業製SDLB計量研型	45. 9. 29	"
工業用赤外線温度計	旭産業製TA-1	45. 10. 20	日本自転車振興会 補助物件
デジマイクロ	オリンパス製 DM 253 顕微鏡STM	45. 10. 30	中小企業庁補助物件
液化炭酸超低温装置	柳本製作所製OTS―60	45. 10. 31	日本自転車振興会 補助物件
オートコリメータ	ニコン 6 D型	46. 8. 16	"
島津万能試験機	電子管式REH-100型	46. 9.29	中小企業庁補助物件
周波数自動分析記録装置	国際振動研究所製SM-2200	47. 9.28	日本自転車振興会 補助物件

品 名	規 格	購入年月日	備考
エレマ電気炉	東海興商製CE-20	47. 10. 30	日本自転車振興会補助物件
高温鋳物砂試験機	東京衡機製力量 500 kg	47. 10. 31	"
直示式鋳物砂熱膨張計	小沢製作所製EOS-1	47. 11. 20	"
器線試線器	小沢製作所製MO-1	"	"
定電位電解分析装置	柳本製作所AFS-4 4連式	47. 9. 8	"
ばいじん量測定装置	D-20 S C	49. 8. 12	中小企業庁補助物件
メモモーション測定装置	松下電器製	49, 7.31	"
万能基準硬さ試験機	明石製作所製 計量研型 SHT-3型計算装置付	49. 10. 28	"
高周波誘導電気炉	FTH-30Mサイリスタ式	49. 10. 31	"
蛍光 X 線 分析 装置	理学電機工業製 ガイガーフレックス3063 P4	52. 3. 30	"
СЕУ — 9 —	リーズ・アンド・ノースロップ社 TECTIPマークⅢ一H	52. 3.23	"
可傾式金型鋳造機	新東工業PLS-33R	53. 8. 11	"
自動平衡型温度記録計	千野製作所 E K 100 -06	53. 8. 25	"
塗型用噴霧機	岩田塗装製	53. 12. 20	"
Р Н У — Я —	東亜電波製HM-20B	53. 7. 10	県 単
シャルピー衝撃試験機	島津製30kg f-m	54. 1.17	"
普通 騒音計	㈱ノードDS-101 C	54. 8. 20	中小企業庁補助物件
精密低温恒温槽	田葉井製作所製 K-3473-D1	54. 10. 31	日本自動車振興会 補助物件
ストレンメーター	新興通信工業DPU— 100 PS751350	54. 9. 5	"
分 光 光 度 計	島津製作所 U V — 150 —02	54. 8. 10	"
STメーター (残留ひずみ測定器)	福井技研標準型	54. 10. 5	"
水圧ポップ	山本水圧工業製 P H 60	54. 7.14	県 単
ジェットエロージョン 試 験 機	㈱山崎精機製 J V E 12	55. 8. 10	中小企業庁補助物件
ピンホール探知器	㈱サンコウ電子製TRC-20A	55. 7. 17	"

		T	·
品名	規格	購入年月日	備考
静電粉体塗装装置	小野田セメント㈱製 G X 101、T Y P E 6132-1	55. 7. 25	中小企業庁補助物件
CS同時定量装置	米国LECO-CS-144型	55. 8. 9	日本自転車振興会 補助物件
かじり摩耗試験機	㈱京都試作研究所製	55. 10. 31	"
空気圧実習装置	太陽鉄工㈱製 当所仕様	56. 7. 30	中小企業庁補助物件
ブリネル硬さ試験機	(株)島津製作所製 最大荷重 3,000 kg	56. 9. 16	日本自転車振興会 補助物件
万能試験機		56. 9. 19	"
電動ビッカース硬度計	㈱明石製作所製 AVK-A型	56. 10. 31	"
高周波プラズマ分析装置	(株)島津製作所製 ICPV-1000型	57. 12. 10	"
マイクロコンピュータ システム	シャープ㈱M Z — 2000	58. 1.14	"
X線マイクロアナライザ	㈱島津製作所製EPM-8101	58. 11. 21	"
小型超低温恒温器	タバイエスペック(精製 MCー71型	58. 11. 22	"
微小硬度計	㈱明石製作所製 MVK-Eシステム	58. 11. 25	"
オシロスコープ	菊水電子工業㈱COS-5060	58. 7. 29	県 単
マイクロロボットムーブマ スター	三菱電機製RM-101	59. 9. 21	. "
顕微鏡試料作成装置一式	ビューラー社	59. 12. 26	中小企業庁補助物件
倒立型金属顕微鏡	= ¬ > EPIPHOT — TME	59. 12. 26	"
冷熱衝擊試験機	タバイエスペックTSR―63型	59. 12. 17	"
検力器負荷式 応力腐食試験機	東京衡機製プルーフリング型	60. 12. 10	. "
全自動分極測定装置	北斗電工製 HZ-1A	60. 12. 10	"
浸漬乾湿 複合サイクル試験機	スガ試験機製 DW-uD-3	60. 12. 18	"
パーソナルコンピュータ ネットワークシステム―式		61. 3. 31	県単
ループ検力計	0.05 LD、0.15 LD	61. 3. 7	"
電気マッフル炉	ヤマト科学 FM-36	60. 7. 16	"
光学式変位測定器	リード電機製 PA-1800 PA-1810	61. 1.11	"

	品 名	規格	購入年月日	備考
	電 子 天 秤	チョウバランス㈱JP―160	61. 6. 4	県 単
	横形マシニングセンタ	H C 400 -40	62. 1.10	中小企業庁補助物件
	NC自動プログラミング 装 置	SYSTEM PMODELG	"	"
	写真複写機	(株宮崎 MC-1 P	62. 7.14	県 単
	金属顕微鏡用照明装置	㈱モリテックス NRG-48-1000S	62. 7.14	"
	バルブ性能試験装置 本 実流量変位測定器	日本科学工業㈱ ジェック㈱ DSA-605 C型	62. 12. 11	日本自転車振興会補助物件
	リフト運搬車	杉国工業㈱ SPR20-LL	62. 12. 5	"
	ロックウェル硬度計	明石製作所 AHT-AT	63. 10. 14	県 単
	重金属廃水処理装置	同和鉱業㈱ LIP-20AH1	63. 8. 11	"
	スポットエアコン	ダイキン工業 SUAS2MAU	63. 7. 1	. "
ĺ	ゴム硬度計	㈱島津製作所 200型	63. 7. 28	"
	XYプロッター	(株)ファナック A3	63. 9. 14	"
	摩耗テスター	日本コントラクター㈱製 O P — 300	元. 7.31	日本自転車振興会 補助物件
	振動騒音解析装置	㈱小野測器製 CF-360	元. 8.30	"
	ビデオモニター	松下電器産業製 NV-DS1	元. 5.16	県 単
	パーソナルコンピュータ	日本電気㈱製 PC-9801-RX21	2. 1.19	"

# Ⅱ 依 頼 業 務

- 1. 依頼試験数および手数料
- 2. 設備使用件数および使用料

# 1. 依頼試験数および手数料

手数料 3,303,080円

	一大	XM S,	3 0 3,0 0	0 13		
(1)	材料	試験	411 試料	(878試験)		
	(内	訳)	抗	折	84	試験
			15	張	282	"
			耐力・降	伏点	59	"
			伸	び	182	"
			硬さ(H	B)	217	"
			硬さ(その	の他)	4	"
			そ の	他	50	"
(2)	分析	試験	196 試料	(811成分)		
	(内	訳)	ねずみ	鋳鉄	23	试料
			球状黒鉛	鋳鉄	10	"
			青銅銅	寿 物	106	"
			その	他	57	"
(3)	その他	3の試験	131 試料	(230試験)		
	(内	訳)	組	織	212	式験
			その	他	18	"
(4)	成績書	複本	156 通			
	(内	訳)	和	文	132 i	Ĭ
			英	文	24	,,

# 2. 設備使用件数および使用料

使用料 589,150円

(内	訳)	25 t オートグラフ	98回
		100 t 万能試験機	82 ″
		ブリネル硬さ試験機	81 ″
		高周波プラズマ分析装置	99 ″
		CS同時定量装置	19 ″
		電子天秤	53 ″
		その他	10 //

# Ⅲ 指 導 業 務

- 1. 技術アドバイザー指導事業
- 2. 一般巡回技術指導
- 3. 簡易巡回技術指導
- 4. 技術相談
- 5.調 査
- 6. 技術普及講習会
- 7. 新技術技術者研修
- 8. 出版刊行物
- 9. 生産技術研究会

#### 1. 技術アドバイザー指導事業

実 施 企 業	指 導 内 容	担当	アド	バイ	ザー
㈱昭和バルブ製作所	バルブ部品の応力解析について	神	沢		吉
エスビーバルブ工業㈱	♥オリフィスバルブの改良について	中	石		実
㈱昭和バルブ製作所	逆止弁の開閉速度について	神	沢	_	吉
(株) 清水鉄工所	実流テストにおけるキャビテーション現象の検知方 法について	柳井	田	勝	哉
エスビーバルブ工業㈱	真空弁、調節弁の製品製作について	丸	尾	和	好
高橋金属㈱	プレス機導入における騒音対策について	神	沢	_	吉
協和工業㈱	FC、FCD素材の肉厚測定の自動化について	武	H	和	忠
㈱長浜コルク工業所	キャップシールへの植毛及び植毛後の印刷について	中	Щ	悟	孝
エスビーバルブ工業(株)	出展用温度調節弁の開発について	中	Ш	悟	孝
高橋金属㈱	新工場生産増に伴う騒音対策について	神	沢	_	吉
澤村バルブ工業㈱	スイング逆止弁への逆流の力の計算について	神	沢	_	吉
エスビーバルブ工業㈱	バルブの強度計算について	神	沢		吉
エスビーバルブ工業㈱	工場内の在庫管理体制について	森	岡	忠	美

合計 13企業 (65日)

### 2. 一般巡回技術指導

銅合金鋳物の鋳造技術の改善による品質および生産性の向上について

期 間 平成2年2月5日~8日、14日

指導員 奥田金属株式会社 顧問 磯 田 義 三

機械金属工業指導所

指導係長 松川 進 主任技師 宮川栄一

主 査 樋口英司

主任技師 酒井 一昭

主 査 佐藤 眞知夫

指導企業 ㈱金寿堂

松林合金㈱

㈱馬場合金鋳造所

みさか工業㈱

㈱相川バルブ製作所

#### 3. 簡易巡回技術指導

金属材料の切削・加工・研磨および精度向上に関する技術とチップ、工具、冷却剤の選定等について

期 間 平成元年7月17日~27日

指 導 員 滋賀県技術アドバイザー 安 倍 駿一郎

機械金属工業指導所職員

指導企業 15社 (宮部鉄工㈱ほか14社)

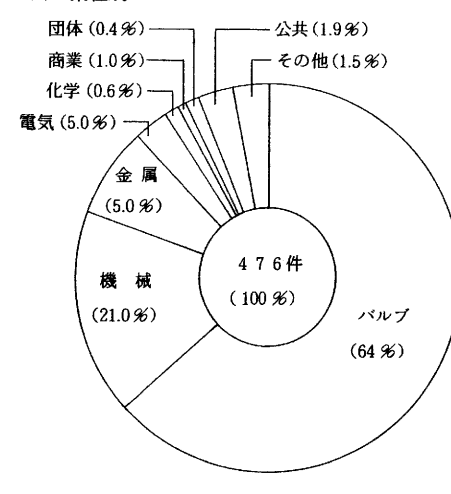
#### 4. 技術相談・指導

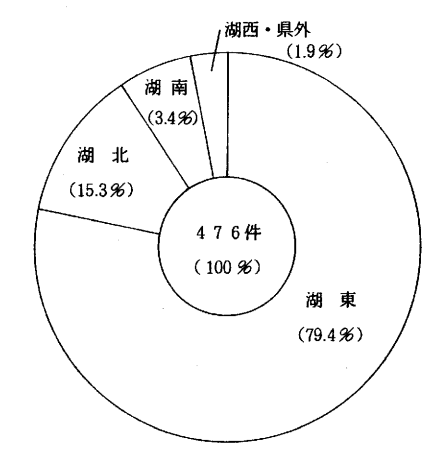
#### (1) 専門分野別件数

I	Ą		3	件	数	比	率	項			目	件	数	比	率
金	属	材	料	32			6.7	分	析	技	術		17		3.6
熱	処 B	里 技	術		16		3.4	防	食	技	術		43		9.0
機	械	加	I		30		6.3	制	度	金	融		49		10.3
試	į	<b>è</b>	法		88	1	8.6	実	施	指	導		5		1.1
鋳	造	技	術		59	1	2.4	そ	O.	)	他		67		10.0
金	属	組	織		79	1 -	14.7		Ē.	t		4	76	1	0.00

#### (2) 業種別

#### (3) 地域別





#### 5. 調 査

- (1) 彦根バルブ動向調査 22企業(4回/年)
- (2) 制度融資等にかかる事前調査

中小企業設備近代化資金貸付診断調査

4 企業

中小企業設備貸付調査

7 企業

○技術改善費補助金・技術開発資金等に係る調査

2 企業

## 6. 技術普及講習会

年月日	内	容	講	師	場	所	受講人員
元. 6. 6	「小ロットにおけ 低コス	ト化への対応」	東京都立工業技行 機械加工部主任		指導研修		45名
元. 9. 7	金属材料における について	各種の疲労事例	龍谷大学理工学 教授 中村	部 宏 	,	,	52名
元. 10. 25	昭和63年度 当所の研究発表会	≳(4題)	機械金属工業指導	尊所職員	,	,	25名
元.12.6			東京都立工業技行 機械加工部主任		,	,	51名
2. 2. 2	平成の時代は王道し	自の経営に徹すべ	(株)マンテン 取締役会長 横田	辰三	,	,	43名
2. 3. 13	接着剤の効果的な	使い方	セメダイン㈱ 接着相談セン センター長		,	,	33名

#### 7. 新技術技術者研修

(1) コース名 FFTアナライザによる信号波形解析技術コース

(2) 研修期間および時間数 平成元年11月14日(火)、15日(水) 9時間

(3) 場 所 滋賀県立機械金属工業指導所

(4) 受講者および修了者 受講者 16名

修了者 14名

(5) 講師 (株)小野測器 商品企画部

今井 幸男 他1名

#### (6) 科目と時間配分

月日	時間数	時	間	科	目	講		A	ħ	内	容
	2		: 00 \$ : 00	FFT	アナライ <b>楚知識</b>	(株)小野街				FFTアナライザの 機能	D原理・特長・ (講義)
11·14 (火)	2	13	: 00		アナライ 本的使用	商品征 販売保			男	振動・騒音の測定プ	方法 (実習)
	3	16	: 00	回転機 技術	戒の診断	. 小	澤	_	速	回転機の異常診断	(実習)

月日	時間数	時間	科	. 8	講	ſ	师	内	容
	2	10:00 \$ 12:0	100	ッキング分 ついて	㈱小野涯			回転機のトラ	ッキング分析 (講義・実習)
11・15 (水)	1	13:00 \ 14:00	ティ	インテンシ 解析につい	商品金販売低		男	音響インテン	シティの解析方法 (講義・実習)
	1	14:00 \$ 15:00		ダル解析に て	小	澤 一	速	モーダル解析 演)、質疑応答	の手法(講義・実

#### 8. 出版刊行物

昭和63年度業務報告書

機工指だより No.37、No.38

#### 9. 生產技術研究会

(1) 平成元年度役員

会長澤田満(新和工業)

幹 事 北川一男 (相川バルブ製作所)

加 藤 光 雄 (安治川鉄工建設)

清 水 重 一 (協和工業)

松 井 繁 徳 (大日本スクリーン製造)

山 口 昌 求 (中嶋バルブエ業)

樋 口 英 司 (機械金属工業指導所)

会計監事 島 村 満 生 (大洋産業)

山 崎 春 美 (昭和バルブ製作所)

事務局 松川 進 (機械金属工業指導所)

(2) 事業概要

ア 技術講習会 6回

イ 工場見学 2回

ウ 幹事会(総会を含む) 5回

工 会報発行 2回

オ アンケート調査 1回

# IV 研究業務

- 1. バルブ製品の性能に関する研究 (既存バルブの性能試験 その2)
- 2. 既存バタフライ弁の流量特性に関する研究
- 3. 溶射処理材料のかじり摩耗特性の評価研究

# バルブ製品の性能に関する研究 (既存バルブの性能試験―その2)

村 口 明 義

#### 1. はじめに

昭和63年度から既存バルブの性能値を把握するために各種バルブの性能試験を実施し、同年度においては仕切弁、玉形弁、逆止め弁の性能試験の結果を報告した。

今年度は、水道用補修弁(バタフライ式、ボール式)、地下式単口消火栓、セミニードル弁の性能試験を実施したのでその結果を報告する。

#### 2. 試験設備および試験方法

#### 2 • 1 試験設備

昭和63年度に試験した設備と同じである。

#### 2 · 2 試験方法

#### 2 • 2 • 1 容量係数試験

昭和63年度に行った試験方法と同じでJISB2005「バルブの容量係数試験方法」に準じて実験した。ただし、地下式単口消火栓の容量係数の算出にあたっては弁下流圧力の測定ができないので0kPaとして計算した。

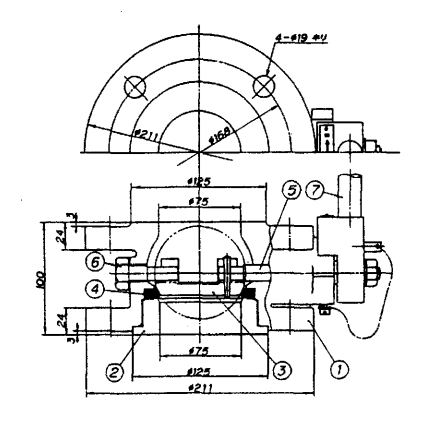
### 2 • 2 • 2 損失係数試験

昭和63年度に行った試験方法と同じ方法で行った。ただし、地下式単口消火栓の損失係数の算出にあたっては、容量係数の場合と同じく弁下流圧力は0kPaとして計算した。

#### 3. 供試弁および弁開度

- 3・1 水道用補修弁
- 3・1・1 バタフライ式

試験に供した弁の口径は75mmで、その構造および主要寸法を図1に示す。弁の開度は全閉を0°、全開を90°とした。



No.	名	称
1	井	箱
2	フランシ	座
3	弁	体
4	弁	座
5	弁	棒
6	Oリンク	「ケース
7	レバー	ハンドル

名 称

箱(山

箱(下)

図1 バタフライ式水道用補修弁の構造と主要寸法

#### 3・1・2 ボール式

試験に供した弁の口径は75mmで、その構造および主要寸法を図2に示す。弁の開度は全閉を0°、 全開を90°とした。

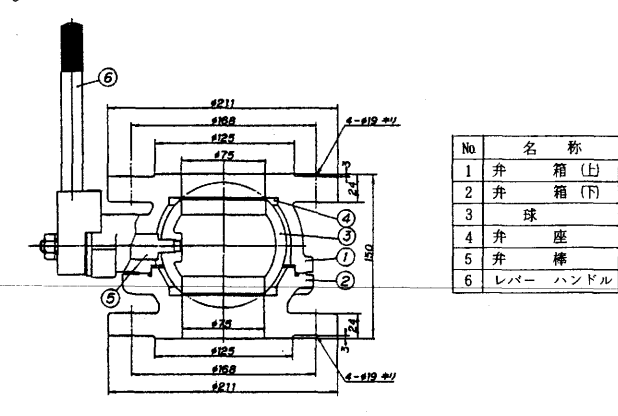
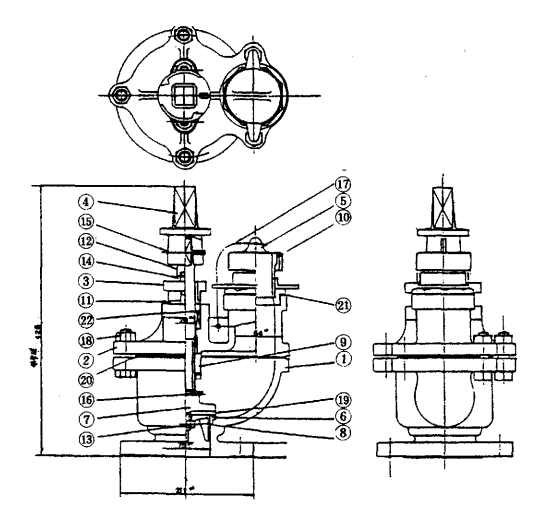


図2 ボール式水道用補修弁の構造と主要寸法

#### 3 • 2 地下式単口消火栓

試験に供した弁の口径は75mmで、その構造および主要寸法を図3に示す。弁の開度は全閉から全 開までの回転数(A)に対する試験時の回転数(a)の比(a/A)を百分率で表わした。



<del></del>	t
No.	名 称
22	パッキン
21	ガスケット
20	ガスケット
19	弁
18	六角ボルト・ナット
17	鎖
16	ピン
15	ピン
14	植込ボルト・ナット
13	六角ナット
12	弁 棒
11	ブシュ
10	□ 金
9	めねじこま
8	弁 押 え
7	弁 体
6	弁 箱 弁 座
5	ふた
4	キャップ
3	パッキン押え
2	パッキン箱
1	弁 箱

名 称

24 ガスケット

23 パッキン

21 止めねじ 20 六角ナット

18 六角ナット

17 六角ナット 16 植込ボルト 14 植込ボルト 10 パッキン押え

9 ねじはめ輪 8 回り止め

図3 地下式単口消火栓の構造と主要寸法

#### 3・3 セミニードル弁

試験に供した弁の口径は100mmで、その構造および主要寸法を図4に示す。弁の開度は全閉から 全開までの距離 (リフトD) に対する弁の開き ( $\ell$ ) の比 ( $\ell$ /D) を百分率で表わした。

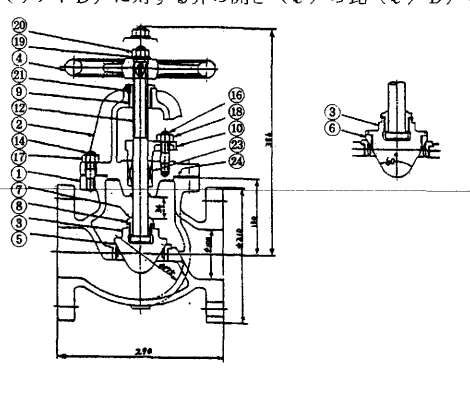


図4 セミニー	ドル弁の構造およ	び主要寸法
---------	----------	-------

# 弁体付弁座 5 弁箱付弁座 1 弁

#### 4. 試験結果と考察

- 4・1 バタフライ式水道用補修弁
- 4 · 1 · 1 容量係数 (Cv)

図1に示すように弁体が偏心しているため、弁軸が上流側(軸上流という)と、下流側(軸下流 という)の両方について試験を行った。その結果を図5に示す。いづれの開度においてもCv値は

軸上流の場合が大きく、開度60°以上では両者のCv値の差は20以上で、全開時におけるCv値は軸上流で304、軸下流で280であった。この理由は、ノズル側とオリフィス側の開口面積の違いからくるものである。すなわち、図6から弁体が同軸リフィス側の開口面積が同じである時は流体の通過流量はノズル側の閉口面積がすり場合はノズル側の閉口面積がオリの場口の間間口面積がオリ

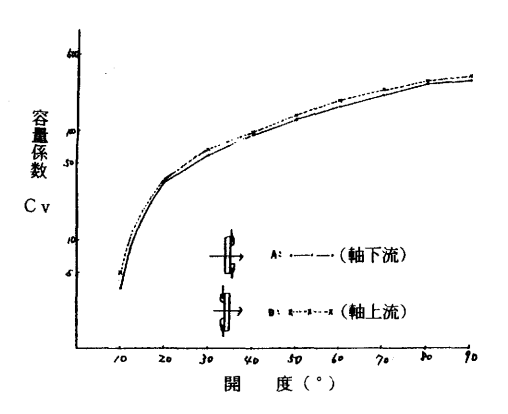


図5 水道用補修弁 (バタフライ式) の容量係数 (口径75mm)

フィス側の開口面積より大きくなるのでCv値も軸下流にくらべ大きくなるのである。

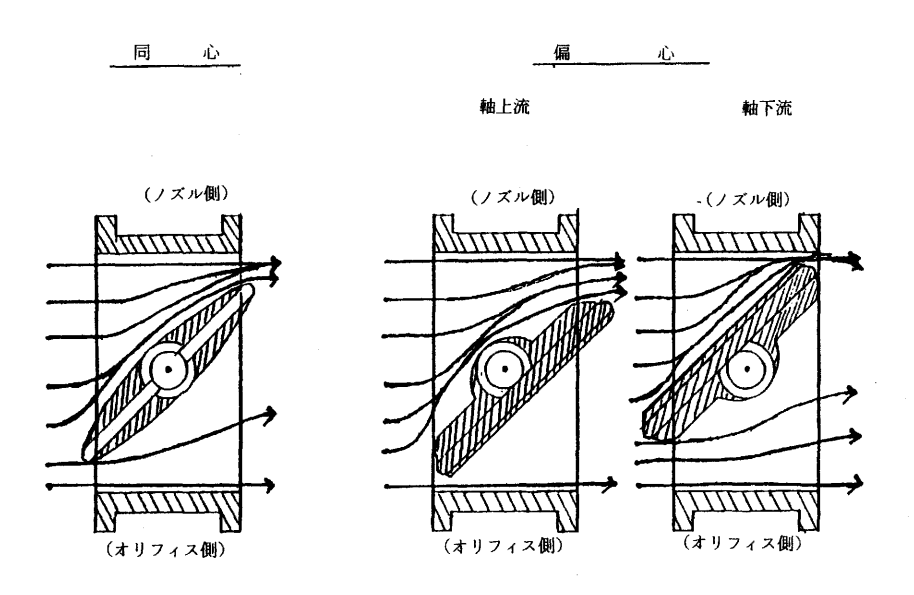


図6 バタフライ弁の弁体形状と流体の流れ (開度45°)

次に、流量特性を図7に示す。リニアに近いイコールパーセント特性となっており、開度10%~80%の間は流量制御性は良いといえる。

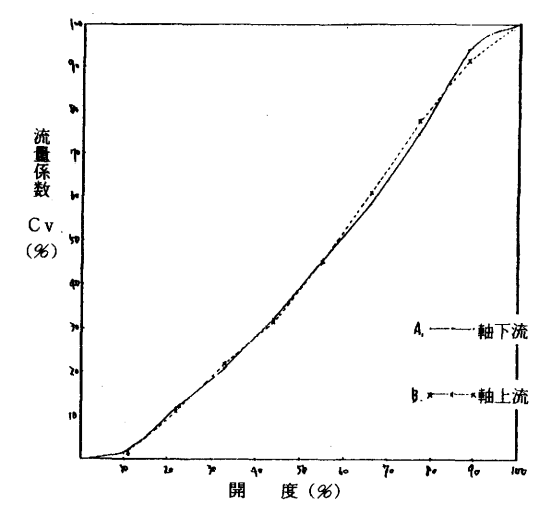


図1 水道用補修弁 (バタフライ式) の流量特性

#### 4・1・2 損失係数(ζ)

容量係数の時と同じく軸上流、軸下流の両方について試験を行った。その結果を図8に示す。 $\zeta$ もいづれの開度ともに軸上流の場合が小さい傾向にあり、全開時の $\zeta$ 値は軸上流が0.7、軸下流が0.9であった。

次に、圧力損失特性を図9に示す。例えば、圧力損失1.0 kg/cmの場合、軸上流では開度10°の時、流量は4.2 m²/hであるが、開度90°の時は250 m²/hとなる。一方、50m²/hの流量を流したい時の圧力損失は開度60°で0.1 kg/cmであるが開度30°では0.8 kg/cmとなり、流量と圧力損失の関係が推定できる。

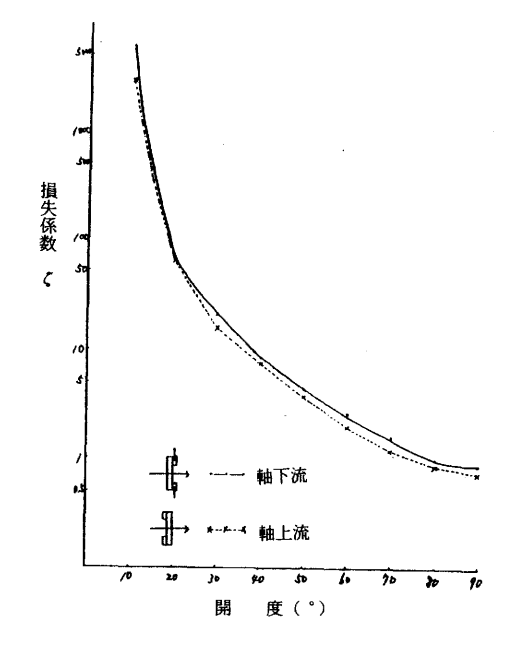


図8 水道用補修弁(バタフライ式)の損失係数

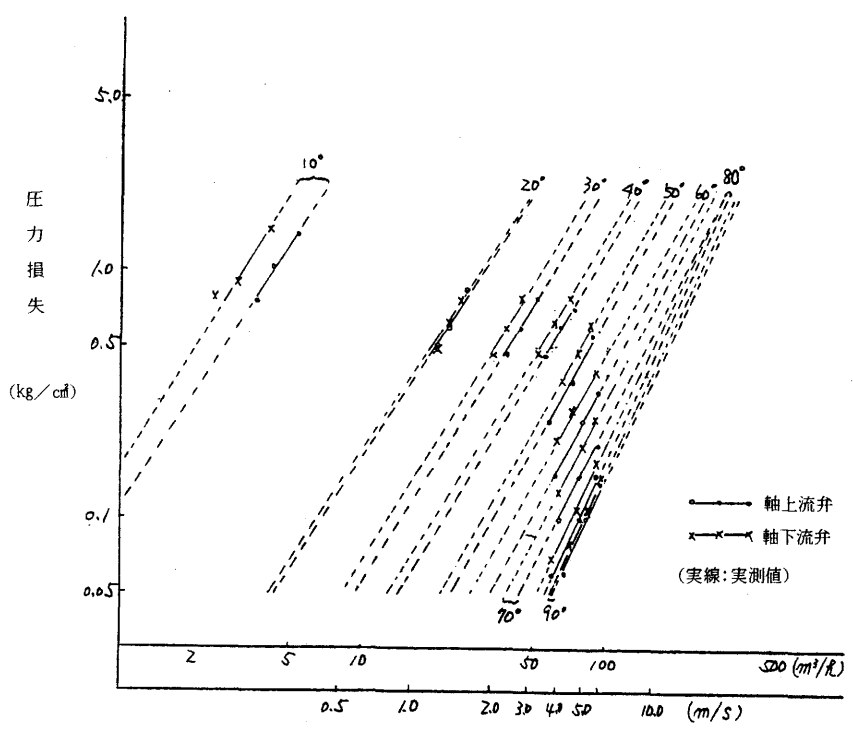


図9 水道用補修弁(バタフライ式)の圧力損失特性(口径75mm)

#### 4・2 ボール式水道用補修弁

#### 4 · 2 · 1 容量係数 (Cv)

弁開度 0°~90°の開度毎の容量

係数を図10に示す。全開時のCv値は555であった。全開時には弁内部に弁体が残らないので、同じく弁体の残らないソフトシール弁(昨年度実施)の値と比較すると、ソフトシール弁の値(口径50mmのものを75mmに換算した値:Cv=570)よりやや小さい値となった。次に、流量特性を図11に示す。イコールパーセント特性となり開度70°までは流量の増加比率は小

さく、流量調節用として適してい

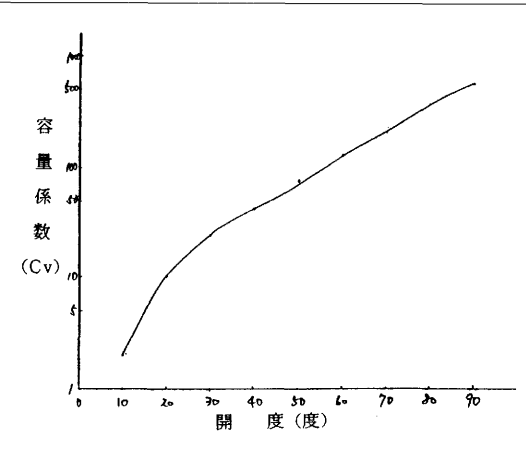


図10 水道用補修弁(ボール式)の容量係数 (口径75mm)

ることがわかる。

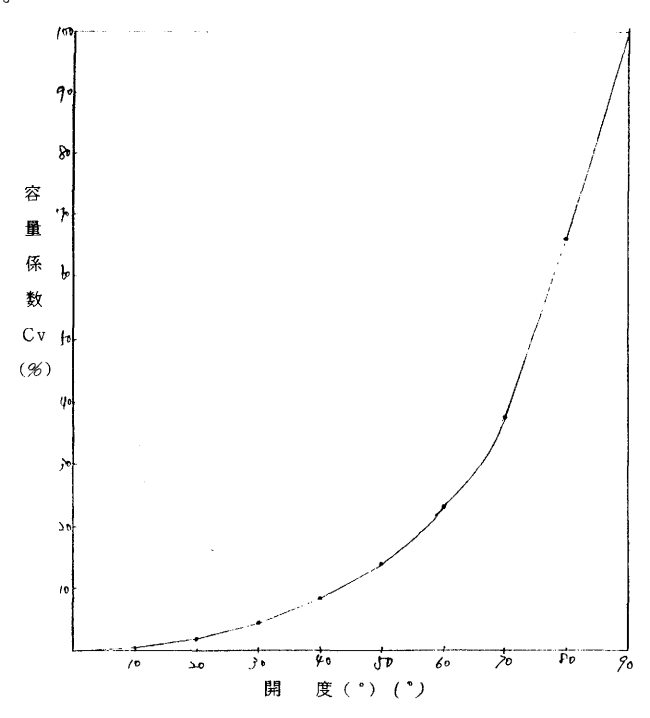


図11 水道用補修弁(ボール式)の流量特性(口径75mm)

## 4・2・2 損失係数(ζ)

弁開度 0  $\sim$  90  $^{\circ}$  の開度毎の損失 係数を図12に示す。全開時の $\zeta$ 値 は 0.2 となり、仕切弁の $\zeta$ 値(昨 年度実施: $\zeta=0.2\sim0.3$ )に比 べほぼ同じ値となった。

次に圧力損失特性を図13に示す。例えば、圧力損失1.0 kg/cmの場合、弁開度10°では、流量は1.7 m/hであるが、弁開度が90°になると510 m/hとなる。一方、流量100 m/hの時、弁開度90°では、圧力損失は0.05 kg/cmとわずかであるが、弁開度が50°になると2.5 kg/cmの圧力損失が生

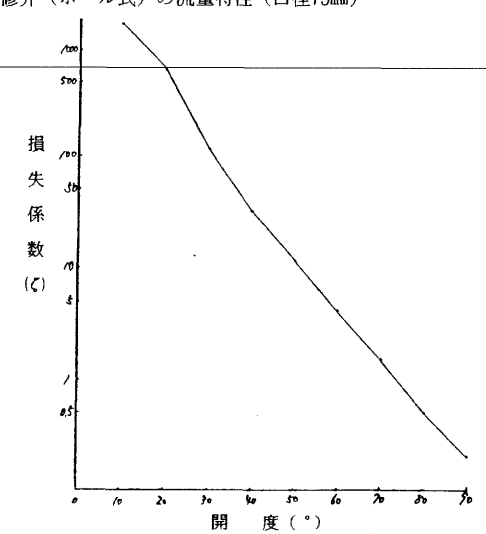


図12 水道用補修弁 (ボール式) の損失係数 (口径75mm)

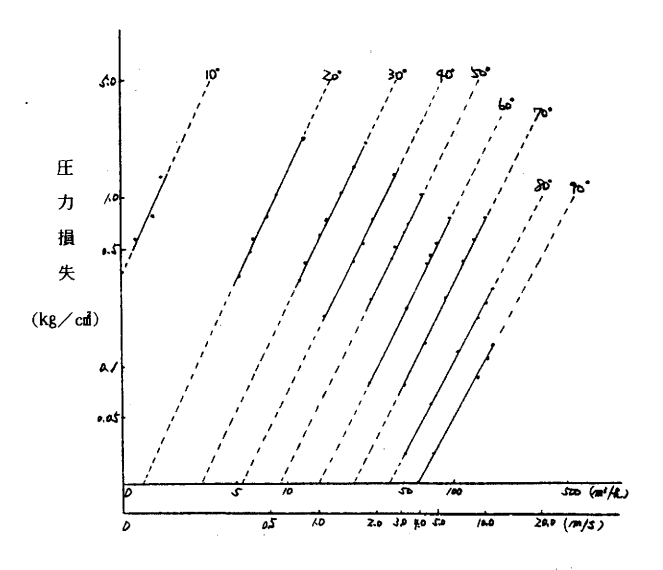


図13 水道用補修弁(ボール式)の圧力損失特性(口径75mm)

じることがわかる。

また、バタフライ式と比べると全開時の場合、圧力損失 0.5 kg/cmの時の流量はボール式約 380 m/h、バタフライ式約180 m/hとなりボール式の方が約2 倍多く流れる。しかし、開度50°の場合の流量は、ボール式約45m/h、バタフライ式約85m/hとなりバタフライ式の方が逆に約2 倍多く流れることになる。

ボール式とバタフライ式の容量係数、損失係数について検討すると図14、図15に示すように容量係数、損失係数ともに弁開度約75°で交差している。すなわち、開度75°より低開度ではバタフライ式の方が容量係数は大きく、損失係数は小さくなっている。これは開口面積の影響と思

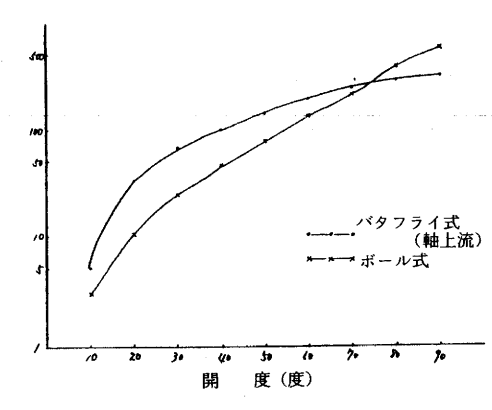


図14 水道用補修弁の容量係数 (ボール式とバタフライ式の比較)

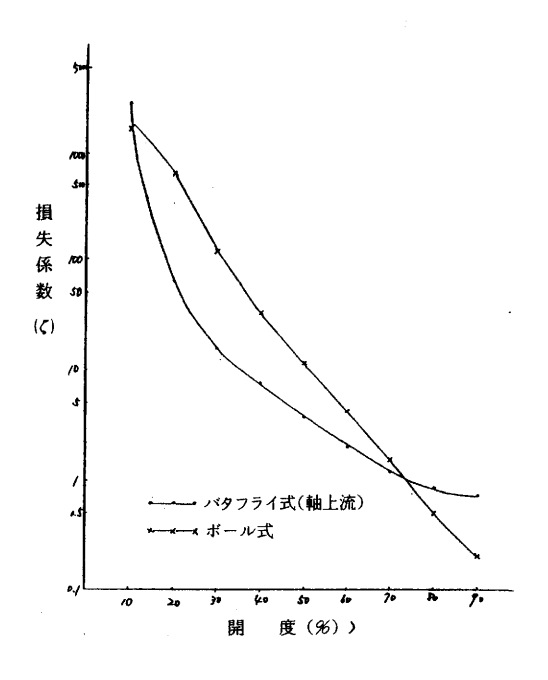


図15 水道用補修弁の流量特性(ボール式とバタフライ式の比較)

われる。全開において、ボール式は弁内部に弁体が残らないので Cv値は大きく、 c値は小さくなるのは当然である。また、流量特性図(図16)ではボール式、バタフライ式ともにリニアあるいはイコールパーセント特性となっており、流量制御用としては適しているが、ボール式の方がイコールパーセント特性になっており流量調節用としては優れているといえる。 このようなことから、バルブを選定する場合は、その用途はもちろんのことバルブの各種性能特性をよく検討し、把握したうえで決定することが重要なことがわかる。

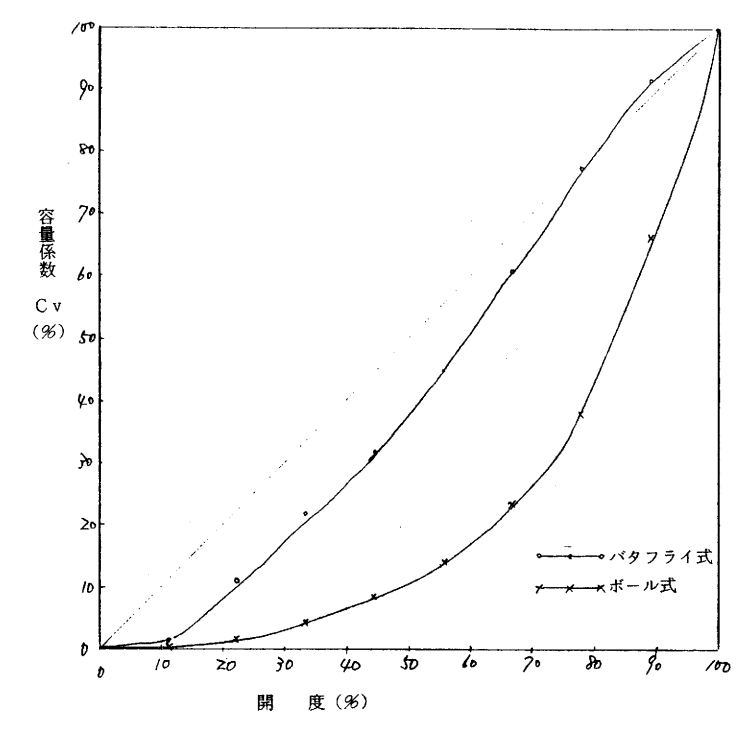


図16 水道用補修弁の流量特性(ボール式とバタフライ式の比較)

#### 4 • 3 地下単口消火栓

消化栓は、その用途から通常は下流側にはホースが接続される。そこで、下流側にホースを接続した場合と接続しない場合について、上流量圧力と流量の関係を調べた。その結果を図17に示す。 全開時の流量は、上流側圧力3.0 kg/cmの場合、下流側開放時約2.7 m/min、下流側ホース接続時約1.5 m/min、となり開放時の方が約1.8 倍多く流れることがわかる。

容量係数試験は下流側圧力の測定ができないので不可能であるが、開放時には下流側圧力は 0 kPa と考えられるので、下流圧力 0 kPa として計算した。(なお、ホース接続の場合も比較検討のため便宜的に 0 kPa として計算した。) その結果を図18に示す。全開時のC V 値は下流側開放の場合 103、ホース接続の場合60であった。

一方、損失係数の結果を図19に示す。全開時の $\zeta$ 値は下流側開放の場合 6.4、ホース接続の場合 19であった。

次に、流量特性を図20に示す。消火栓の場合、通常全開で使用されるのであるが、その用途から 開度が低開度でも一気に流れる方が良い消火栓と考えられる。下流側にホースを接続した場合、開 度27%(1回転開けた時)では全開時の約61%の流量が、開度53%(2回転開けた時)では約90% の流量が流れることになる。消火栓の構造は玉形弁に似ているが、弁体の形状、弁出口等で圧力損

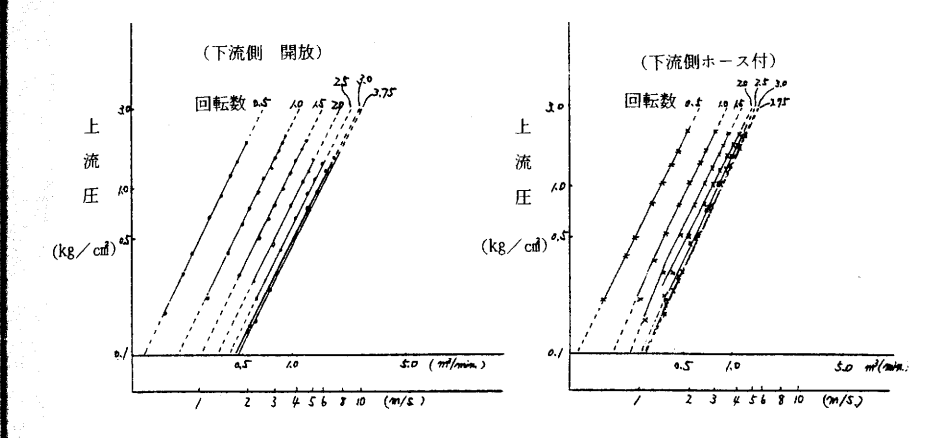


図17 地下式単口消火栓の上流圧と流量の関係

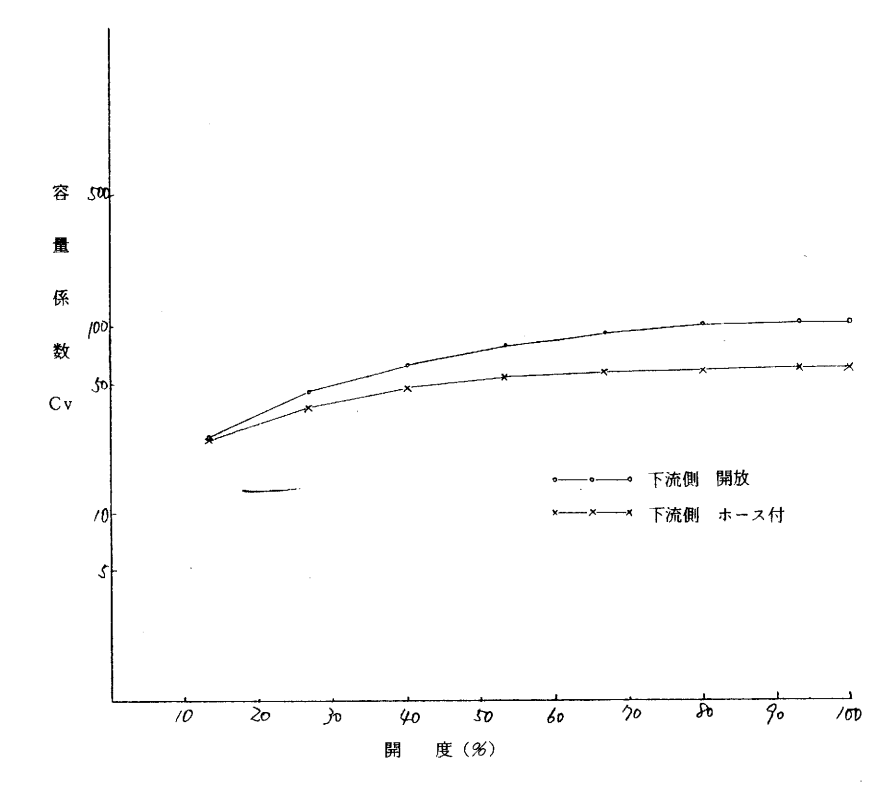


図18 地下式単口消火栓の容量係数

#### 失の小さくなるよう工夫することが賢明と思われる。

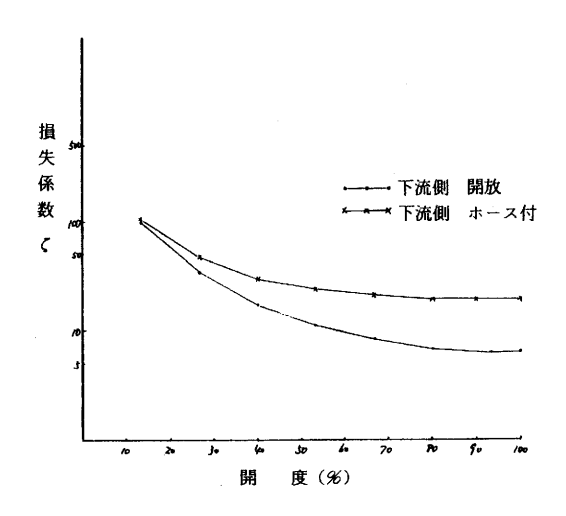


図19 地下式単口消火栓の損失係数

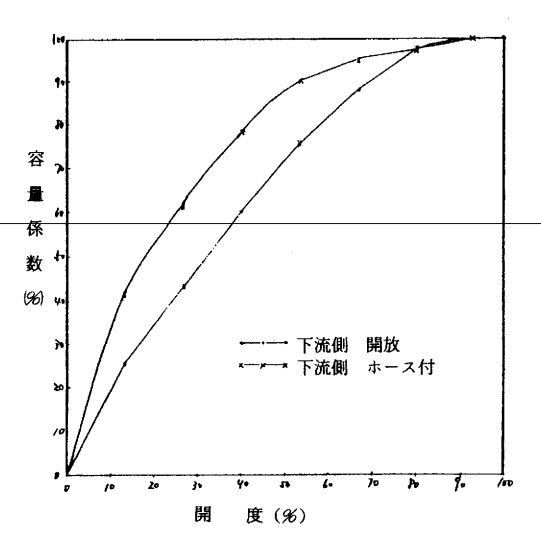


図20 地下式単口消火栓の流量特性

#### 4・4 セミニードル弁

前年度は玉形弁の性能試験を実施したが、流量特性はオンオフ特性で、流量調節用としては適さないことが判明した。そこで今年度は、全開時のCv 値をあまり変えずに流量調節用として使用できる弁体の形状を検討する目的で、弁体形状の角度 $60^\circ$ (図4 参照)のセミニードル弁の性能試験を実施した。

#### 4 · 4 · 1 容量係数 (Cv)

各開度毎の容量係数と開口面 積の関係を図21に示す。その結 果、全開時のCv値は165で、 JIS B 2031の玉形弁 (隔壁 角度はセミニードル弁と同じ60°) の177より少し低い値となった。 これは開口面積によるものであ るが、全開時の両者の面積の差 よりもCv値の差は小さくなっ ており、弁体形状(角度60°とフ ラット。図22参照)の違いによ る影響のためと思われる。次に 流量特性を図23に示す。玉形弁 よりは多少改良されているがオ ンオフ特性に変りはなく、流量 調節用としてはまだ不十分であ る。開口面積比ではセミニード ル弁はほぼリニア特性となって いるが、損失係数が図24に示す ように中間開度で小さくなって

いるためと思われる。流量特性が流量調節用に必要なリニア特性あるいはイコールパーセント特性にするには、閉口面積比の特性をイコールパーセント特性、すなわち、中間開度の開口面積を小さくしなければならないことがわかった。

現在、これに沿った弁体 を試作中で、平成2年度に

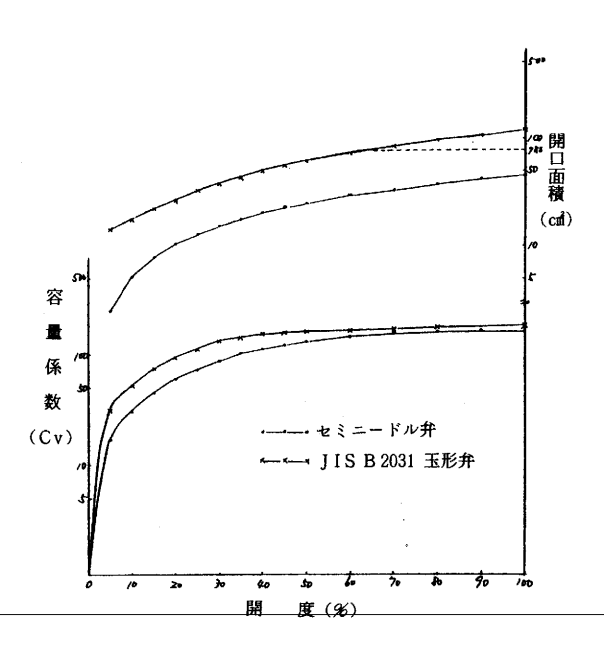


図21 セミニードル弁の容量係数と開口面積

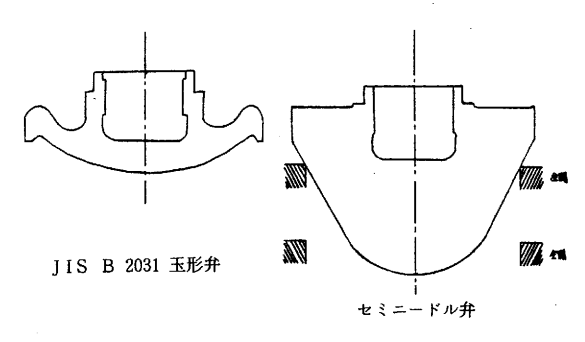


図22 弁体の形状

性能試験を行う予定である。

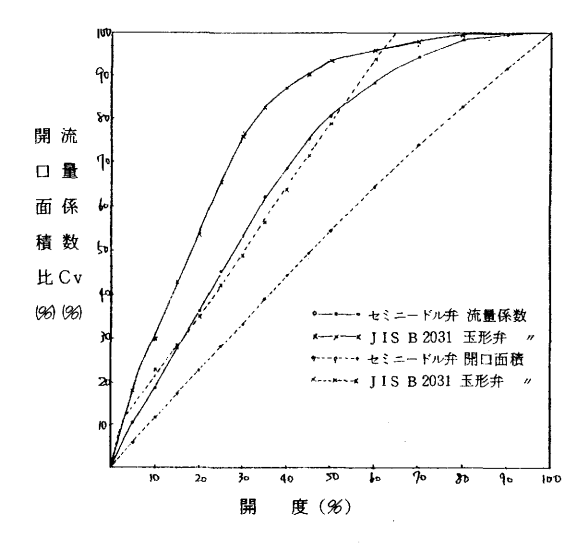


図23 セミニードル弁の流量特性

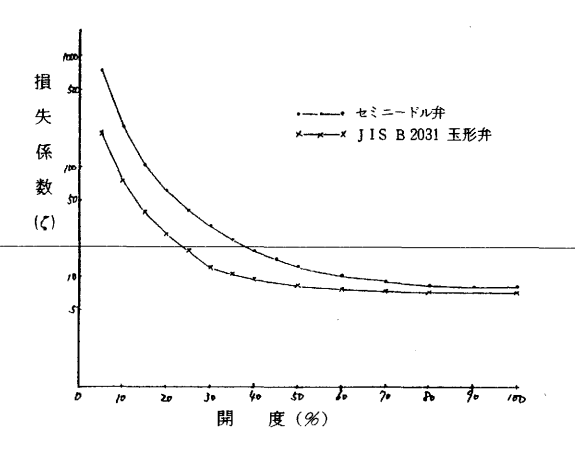


図24 セミニードル弁の損失係数

#### 4 · 4 · 2 損失係数

各開度毎の損失係数は図24に示したとおりである。全開時の $\zeta$ 値はセミニードル弁7.9、JIS B 2031 玉形弁7.0 でセミニードル弁の方が若干高い値となっている。一方、圧力損失特性を図25に示す。全開時において、圧力損失が1.0 kg/ $\omega$ の場合の流量は2.4  $\omega$ / $\omega$ /min.となり、JIS B 2031 玉形弁の2.7  $\omega$ / $\omega$ /minに比べやや少ない流量となっている。

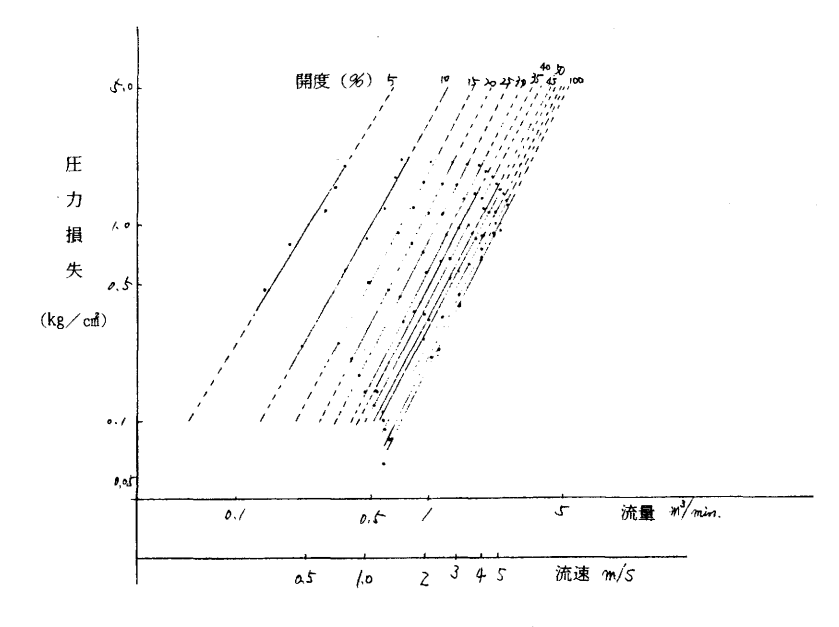


図25 セミニードル弁の圧力損失特性

#### 5. まとめ

水道用補修弁 (バタフライ式、ボール式)、地下式単口消火栓、セミニードル弁の性能試験の結果を まとめると

- 1. バタフライ式水道用補修弁は、弁体が偏心のため軸上流と軸下流の両方の試験を行ったところ 軸上流の方が各開度とも容量係数は大きかった。(損失係数は小さかった。)これは、軸上流の場 合、ノズル側の開口面積がオリフィス側に比べ大きいためである。
- 2. ボール式水道用補修弁の流量特性はイコールパーセント特性となり流量調節用として適している。
- 3. バタフライ式水道用補修弁(軸上流)とボール式水道用補修弁を比較した場合、容量係数、損失係数ともに開度約75°で交差した。即ち、弁開度が75°以下ではバタフライ式が、75°以上ではボール式が容量係数は高い値になることがわかった。このように、バルブを選定する場合はその用途はもちろんであるが各開度ごとの特性等も把握したうえで決める必要がある。
- 4. 地下式単口消火栓はその用途から全開で使用されるが、中間の開度でも流量が多い程良いといえる。開度27% (1回転開けた時)で全開時の流量の約61%が、開度53% (2回転開けた時)では約90%の流量が流れることがわかった。
- 5. 玉形弁は昨年の試験結果からオンオフ特性で流量調節用としては適しないことがわかった。そこで、全開時のCv値を変えることなく弁体を改良しリニア特性あるいはイコールパーセント特性とし流量調節用として使用する目的で弁体角度60°のセミニードル弁の性能試験を行った。その

結果、依然としてオンオフ特性で、流量調節用としては適していないことがわかった。中間開度 における開口面積を小さくすればリニア特性になると思われるので弁体の形状を変更し、平成2 年度に性能試験を実施する予定である。

最後にあたり、バルブを提供して頂いた彦根バルブメーカに対し謝意を表します。

#### 参考文献

- (1) JIS B 2005-1987 バルブの容量係数試験方法
- (2) IIS B 2031-1986 ねずみ鋳鉄弁
- (3) JWWA B 103 水道用地下式消火栓
- (4) 水道協会編 水道用バルブハンドブック
- (5) 村口明義 バルブ製品の性能に関する研究 滋賀県立機械金属工業指導所業務報告(昭和63年度)
- (6) 平田次二 流量特性から見たバルブの機能 配管技術 '86 6 P95

# 既存バタフライ弁の流量特性に関する研究

樋口 英司

宮川 栄一

#### 1. はじめに

バタフライ弁は、他の仕切弁・玉形弁に比べて面間寸法が小さく、0~90度の1/4回転でバルブをON-OFFできるなど構造上の特徴のほかに、軽量かつコンパクトで価格が安く、しかも、操作が簡単で取り扱い易いなどの特徴を持つため、水道用、陸用、船用の各分野共に、その本来のON-OFF 弁としての使い方のほかに、流体の調節制御用として市場のニーズが高まる傾向にある。さらに、バタフライ弁は規格化されたものが少なく、バルブメーカー各社の設計の自由度が高いため、新製品開発に対する余地が大きい。

当所では、昭和63年度からバタフライ弁について性能試験を実施しているところであるが、使用目的が流量調節用の場合、当然中間開度での使用が多くなることになり、このため特に、比較的高流速で用いた場合の、弁体から弁体下流側に騒音・振動を伴って起こるキャビテーション現象の発生が開発上の問題点となっている。

このため本研究では、流量特性的に既存バタフライ弁の高性能化を図ると共に、低キャビテーション化を実現するため、主として弁体形状の改良による新製品の開発を目指したもので、キャビテーション発生の因果関係を知る上での基礎データとなる弁体形状ごとの性能試験を実施し、その違いを把握するのが目的である。

なお、今年度バルブ性能試験装置の改造の実施に伴って、実験期間がかなり制約されたため、研究 に必要な実験の一部のみを実施し、若干の検討を加えたので以下に報告する。

#### 2. 試験装置

試験に使用した設備の概要は、昭和62年度業務報告書(昭和63年度発行)に記載したとおりである。なお、設備の主要部は、JIS B 2005「バルブの容量係数の試験方法<sup>1)</sup>」に準拠して製作している。

#### 3. 実験方法

#### 3-1供試弁

本研究では、弁体形状の違いによる性能の比較が目的であるため、現在製造されているバタフライ弁の中で、図1に示すように代表的な7種類の弁体タイプ、すなわち、(1)中心が軸と一致する弁体(同心型)、(2)同心型で中心部に軸が貫通した弁体(貫通型)、(3)同心型で上流側と下流側の形状が非対称の弁体(非対称型)、(4)中心が軸と一致しない弁体(偏心型)、(5)軸に対して傾いた弁体(傾斜型)、(6)表面が曲面でできている弁体(変形型)、(7)表面に櫛歯状の突起物がある弁体(整流型)のバタフライ弁について検討することとした。

これに従い、本研究で性能試験に供したバタフライ弁は表1に示すとおりである。(平成2年度に実験予定中のバタフライ弁を含む。ただし、弁体傾斜型については予算上の都合で除外した)

いずれも入手し易い陸用のバタフライ弁で実施しており、口径100mmを主体に弁体の種類の異な

るバタフライ弁(6種類)を用いた。また、口径による差異をみるため、同心型バタフライ弁につ いて、口径50mm、80mm、100mm、125mm、150mm、200mm(貫涌型)のパタフライ弁(6種類)を使用 した。

表 1	供試用	バタ	7	ラィ	1 #

		东		( )	ı i	<b>k</b> )		12		用	數		A	-		用			用	唯		甩	R	,	#		Я	,	#		Ħ	R	,		2	,	1	*		用
t	1	モ		( 1	n z	a )			5	0		8	0	1	0	0	1	0	0	1	0	0	1 (	יכ	0	1	0 (	,	1	2	5	1	5	0	1	5	0	2	0	0
4	+	*	•	n	*	<b>1</b>		-	心	2	Ħ	÷.	豆	Ħ	è	SZ.			型型		心対		黄素			=	ù B	2	P	ė.	<b>Z</b>	Я	ŵ :	2	#	-			心通	
Ħ		*				#		P	C 2	5	F	C 2	5	P	C 2	5	1	C 2	25	F	RP		PC	2 5	5	s c	s 1	3	F	C Z	5	P	C 2 !	5	SF	50/		F	C 2	5
	-	#				#		su	S 3	04	sv	s <b>3</b>	04	su	S 3	04	St	5 3	304	F	RP		scs	1	13	SC:	s 1	3	S U	53	04	SB	530	)4	FC	045	5	FC	D 4	5
質		シ	-	١.	) :	, ,		н	BR		N	BR		,	BR	!	,	8 9	t	*	BR		71 2	R		ŧ	787		Ħ	BR		,	8 R		*	: L		N	BR	
ð	in	1 1	推		( n	a In	)		43			46			50	)		50	)		58		5	ż			5 2			54			59			5 2			64	
*1	重	:	<b>R</b>		( I		)	2	. 5	0	3	. 9	0	5	. 3	15	:	. 1	0	2	. 6	0	4.	65	,	5	. 80	1	8	. 1	5	10	. 5	5	22	. 50	,	15	. 1	0
* 2	* 1	tti	٠ ٠ :	ı > <b>(</b>		t pt			0			0			0			0			0		(	>			0			×			×			0			×	
性能		*	*	# J		C 100			Δ			Δ			Δ			Δ			0		,	Δ			Δ	1		×			×			Δ			×	
試験		换	失 (	* 1					Δ			Δ			Δ			Δ			0		-	Δ			Δ	7		×			×			Δ			×	

- 〇印は、 気動を容飾したものを示す。 ×印は、試験未実施のものを示す。

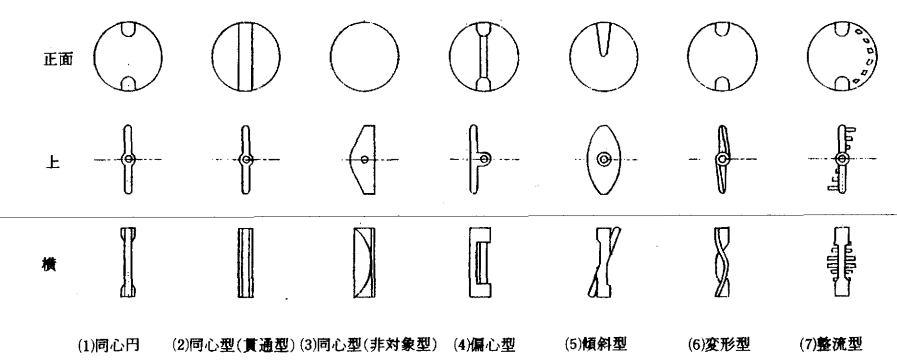


図1 供試弁の基本構造

#### 3-2初生キャビテーション係数試験

この試験では、キャビテーション現象の発生のし易さの比較に重点を置いて実験を行った。しか 、現段階でキャビテーションを定量的に捉える方法が確立されておらず、その評価に苦労した。 これについては、平成元年度に騒音・振動解析装置を購入し、キャビテーション発生時の弁体付近 の騒音と振動を測定し、FFTアナライザーにより周波数分析を行い、キャビテーション特有の固 有周波数を検知して評価できないか検討中で、今回の実験にはこの手法を導入できていない。

従ってこの実験では、キャビテーションの評価方法としてはかなり定性的な方法に頼らざるを得 ず、複数の人間の聴覚によるキャビテーション発生の確認により評価した。具体的には、5~10秒

間にキャビテーション気泡が壊れる時に発生する「ピチピチ」という音が1回確認された時点を初 生(初めてキャビテーションが発生した時を言う)とした。

次に、キャビテーションを数量的に表わす尺度として、一般的に用いられているキャビテーショ ン係数 (σ) を次式により算出して求めた。実際は、キャビテーション発生に影響を及ぼす要素は、 計算式のファクター以外にも流体の物理的性質(温度、密度、蒸気圧、表面張力、粘性、圧縮性)、 化学的活性、流体に溶存または浮遊している物質など様々考えられるが、これら全てを計算式に取 り込むことは不可能であり、基本的な条件のみを考慮した。

a :キャビテーション係数

 $\sigma = \frac{H_2 + (H a - H v)}{(H_1 - H_2) + (V^2 / 2 g)}$ 

Ha: 760mmHg.20℃の大気圧 (10.332mH<sub>2</sub>O)

Hv:その温度における飽和蒸気圧 (OcHm)

(mH<sub>2</sub>O) H.: 弁上流圧力

(mH<sub>2</sub>O) H。: 弁下流圧力

V : 流速 (9.80665m/sec2) g : 重力加速度

### 3-3 C v 値試験 (JISでいう容量係数試験<sup>1)</sup>)

JIS B 2005「バルブの容量係数の試験方法」では、"レイノルズ数を4×10~1×106、差圧の値 は74kPaとして2回20~25%のステップで順次に差圧を減じてそれぞれにおける流量を測定する" こととなっているが、限られた実験期間の中で、全てのバタフライ弁についてこの条件を満たした 測定をすることが不可能であったため、便宜上、口径100mmの非対称型を除いて、C v 値は初生キャ ビテーション係数試験で、初生時の測定値から次の計算式により求めたものを使用した。(平成2 年度に、一部のバタフライ弁についてJISに基づく試験を実施予定)

 $C v = 1.167Q \sqrt{\frac{G}{\Lambda P}}$ 

C v : C v 値 (容量係数)

 $(USgal/min) / (1lbf/in^2)^{-1/2}$ 

Q :流量

 $(m^3/hr)$ 

ΔP:弁ト流と弁下流の差圧

(kgf/cm<sup>2</sup>)

(m/sec)

G : 流体の比重

(1)

#### 3-4損失係数試験

C v 値試験と同じ理由により、口径100mmの非対称型を除いて、損失係数(て)は初生キャビテー ション係数試験で、初生時の測定値から次の計算式により求めたものを使用した。

 $\zeta = \frac{2 g \cdot \Delta H}{V^2}$ 

と : 損失係数

: 重力加速度

 $(9.80665 \text{m/sec}^2)$ 

ΔH: 弁上流と弁下流の差圧

 $(mH_2O)$ 

V : 流速

(m/sec)

#### 4. 結果および考察

#### 4-1キャビテーションの発生機構

工学では一般に、常温での沸騰現象と区別して、主に流体の運動によって起こる圧力低下が原因で、圧力がその時の蒸気圧以下に低下した時に起こる沸騰現象をキャビテーション(Cavitation)と呼んでいる。

この圧力の低下は、流体の流動あるいはその時生じた渦によって発生し、高速で流体が物体を通過した際、流体の剪断応力が一定以上になると、その境界面に真空の空隙を生じ、そこに流体が蒸発する、いわゆるキャビテーションを起こすことになる。従って、この現象は隣接した流体の分子間に働いている分子間引力に打ち勝つだけの張力を作用させて分子を引き放し、この空隙を満たすために流体分子自身が蒸気状態に変わると考えられる。

ところが、この張力を理論的に分子程度の大きさの気泡についての表面張力から求めた水の抗張力は7400kg/cmfであり、また、 $P.Cormaut^2$ の論文に従って求めた水蒸気泡を発生させるための張力は635kg/cmf(100° $\mathbb{C}$ )~1135kg/cmf(0° $\mathbb{C}$ )と、共に極めて大きな力がいるという結果が得られる。しかし、現実には低圧状態での発生が通常で、これは流体の激しい運動による張力の低下があることはもちろん、水中にあらかじめ気泡が存在していれば合理的な説明をすることができる。

すなわち厳密にいえば、先にも述べたとおり、流体中に何らかの気体が溶存する場合が多く、蒸 気圧以上でも気泡の発生が観測されてキャビテーションの発生を促進するため、本来のキャビテー

ションとの視覚的な区別は難しく、必要ならば 気体の飽和圧を考慮する必要がある。従って、 水と空気の場合を考えれば、飽和状態での容積 比で水中に約2%の空気が含有されているため、 キャビテーション発生の初期は、やはり溶存気 体の影響を考えなければならない。

このことは、溶存気体の量は液体の圧力に比例するというHenryの法則によっても説明でき、図2に基づき平衡圧をP<sub>B</sub>とするならば、

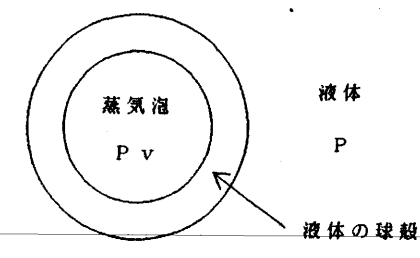


図2 液中の球状気泡の模型

$$(P-P_E) = (P-P_V) - (P_E-P_V)$$

で表わせ、圧力差( $P-P_B$ )は蒸気圧との差( $P_B-P_V$ )だけ小さい圧力差でキャビテーションが発生することを示すことからも裏付けられる。これは、実験的にも沼知、椎名ら $^{3)}$ によって研究報告されている。

次に、キャビテーションが発生した後、外観上観察できるまでに成長した場合、系の違いにより種々の形態を示す。一般的なキャビテーションに対する分類法として、Knappら<sup>4)</sup>の方法を一部紹介する。

Knappらは物理的な性質により、キャビテーションを次の4種類に分類している。

#### (1) 移動型キャビテーション

流れと一緒に動きながら、液体の中で発生し、膨張、収縮、壊滅するような、個々の遷移状態 にあるようなキャビテーションの形態。

#### (2) 固着型キャビテーション

発生の後、流体が物体の境界に固着したポケットすなわちキャビテイのために、物体から離れるような場合のキャビテーションの形態。

#### (3) 渦キャビテーション

流れの中の渦の中心は非常に低圧になるから、ここにキャビテーションを生じた場合の形態。

#### (4) 振動性キャビテーション

上の3種類のキャビテーションは、全て液体が1回だけキャビテーションを起こす場を通過するが、これは、液体内の高振幅、高周波の圧力の連続パルスによるキャビテーションの形態。

最後に、キャビテーションが発生、成長した後、流下して後流のやや高圧の場において、キャビテーション気泡は速い速度で壊滅する。この壊滅現象については、Rayleigh $^{5)}$ 、Fottinger $^{6)}$ らによって理論的解明が試みられている。この壊滅現象が物体表面または表面近くで起これば壊食などの損傷を与えることになる。(Cavitation Damage、またはCavitation Erosion)

つまり、極めて短時間に壊滅するため強い衝撃力が発生し、このエネルギーが壁面に直接加わった場合、その部分が損傷を受けることになる。また、壊滅直前に再び成長した場合には、強い衝撃 波を発生することが報告<sup>7)</sup>されており、これも壊食にとっては見逃すことができない現象である。 ここで、キャビテーションによる壊食現象を3つの要因に分析してみると次のようになる。

#### (1) 機械的作用(主原因)

発生したキャビテーション気泡は、圧力回復によって急激に壊滅する時に振動・騒音を伴った 衝撃力を発生する。この状態が長時間続いた時、このエネルギーにより表面が物理的に剝ぎ取ら れる。

#### (2) 電気化学的作用

気泡の圧縮壊滅時に局部的に発生する高温と、金属表面の瞬間的な高い応力による高温発生で 温度勾配が生じて微小電流が流れる局部電池を生成し、腐食を引き起こす。

#### (3) 化学的作用

(2) の高温発生により、液体の化学的活性が高まり、 $H_2O_2$ の生成や液体のイオン化によって化学的腐食が引き起こされる。

ところで現実に、キャビテーションが発生する条件下での使用が求められた場合については、壊食等のキャビテーション破壊に何らかの防御を施す必要がある。以上述べてきたことを考慮して現段階で考えられる方法としては、(1)根本的な原因を取り除くこと、(2)抵抗材料を使用すること、(3)空気の強制吹き込みにより壊食のクッション効果を期待すること、(4)電極により水素ガスを発生させてクッション効果を期待すること、(5)腐食抑制剤を添加すること、(6)上記の方法を併用することなどが上げられるが、最も重要な解決策は明らかに(1)の方法である。

#### 4-2バタフライ弁のキャビテーション

バタフライ弁は一般的には、全開および全閉の2つの状態で使用されるいわゆるON-OFF弁であるが、始めに述べたとおり、調節制御用弁として構造トや操作上に有利な面があり、他の弁に代

わって使われるようになってきた。

しかしながら、パタフライ弁は他の弁と違って全開または中間開度においては、その構造上、弁体自体が配管内に位置するため、流れに対しては障害となって系内に大きな乱れを生じる状態にある。すなわち、流体の流れの条件によってはキャビテーションの発生は避けて通れないものとなっている。

しかも、バタフライ弁は調節効果を高めるため、バルブ上流部と下流部に比較的大きな差圧が得られるように、バルブ部分の口径を人為的に小さくした、いわゆる絞り状態(運転)で使用するのが通常であるため、ますますキャビテーション発生条件がシビアとなり、キャビテーションによる騒音、振動およびバルブ後流配管系での破損や壊食等の悪影響を増進する使用形態をとる結果となっている。

ところで、パタフライ弁のキャビテーションについては、大島ら<sup>8)</sup> によってある程度研究されており、中間開度の場合、管との間の絞り部には低圧を生じるが、それとともに弁後流には強い渦が形成される。このため、渦の中心部は極めて低圧部になると予想され、キャビテーションの発生には渦中心の低圧を考えるのが合理的としている。この要素を加味して、キャビテーション係数として次の式を導いている。

図3から、弁より十分上流の管内圧力を $P_0$ 、渦中心の圧力を $P_v$ 、平均流速を $V_0$ 、 $d/L=\sin\alpha$ 、 $D/L=\sin\beta$ とすると次の式に表わされる。

$$k = \frac{P_0 + (\rho/2)V_0^2 - P v}{(\rho/2)V_0^2} (1 - \frac{s i n \alpha}{s i n \beta}) - 1$$

なお、従来のキャビテーション係数との関係は次のとおりである。

$$k = \; \{ \; k_{\;\; (1,2)} \;\; (\; 1 \; + \; \zeta \;) \;\; + \; \zeta \; \} \;\; (\; 1 \; - \; \frac{s \; i \; n \; \alpha}{s \; i \; n \; \beta} \;) \;\; - \; \frac{s \; i \; n \; \alpha}{s \; i \; n \; \beta} \;\; (\; 2 \; - \; \frac{s \; i \; n \; \alpha}{s \; i \; n \; \beta} \;)$$

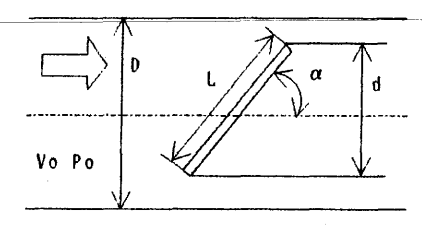


図3 バタフライ弁の模型

#### 4-3パタフライ弁の弁体形状ごとのキャビテーション発生形態

バタフライ弁の弁体形状は、今回検討しただけでも7種類あるが、使用される配管系内でそのバルブに要求される限定された性能や特性があるためで、弁開度もその使用範囲を指定したものがほとんどである。

このことは弁体形状について、例えば偏心型については、性能として止水性を重視した構造であるため、ボールバルブの優れたシール機能を有機的に結び付けた形状として構造上偏心型を取る必要性がでてくるのである。また、使用圧力によっては弁棒強度が要求された場合、ネジ部を小さく

することが不可能な場合があるのである。

従って、場合によっては他の機能を犠牲にしてもよい使われかたをしていることがあるので、本 実験によって得られたデータから作成したキャビテーション特性曲線によって、弁体の優劣を決め るのは甚だ問題が大きいことを念頭に置いておかなければならない。

図4に、今回性能試験を実施		横側から	流れ方向	コ 上側から
したパタフライ弁について、弁 体の形状によって特徴的なキャ	(1)同心型		-	
ビテーションを発生している状			<del>*</del>	- Contraction
態を模式的に示す。いずれも弁	(-)-M-17-TH		<del></del>	- Daniel -
開度50%で、キャビテーション	(2)負進型			
発生後徐々に流速を増し、発生				3.00
状況が視覚的に十分確認できる	( 11-4-1 At . 201	\$ 0	_	- Tal -
ところで安定させた後観察した	(3)非対象型		<del>-</del>	記述性(の)
もので、従って、それぞれの弁				7 7/5
体での発生条件は必ずしも一致			-	Nite of the Control o
するものではなく、また、発生	(4)偏心型 弁体上流側		<del>-</del>	
のし易さを判断したものではな		** NIZ_		
<i>۱</i> ۰,	(5)偏心型	EL AN	<u>.</u>	22700 -
	弁体下流側		<b>≠</b> -	
なお説明上、弁体が上流側に				
ある開口部をオリフィス様の流	(6)整流型		-	
れ(以下「オリフィス側」と称	(0)整机室		<b>←</b>	

口部をノズル様の流れ(以下 「ノズル側」と称する)とする。

する)、弁体が下流側にある開

図4 キャビテーションが成長した時の発生状態

同心型、貫通型ではいずれも弁体通過流量の多いノズル側で微粒子状、流量の少ないオリフィス 側で亀裂状中心のキャビテーションの発生がみられ、しかも、弁体の上端部、下端部からの発生が 激しかった。また、弁体後部の中央には透明部分が存在し、これがキャビテーションかどうかは不 明である。

非対称型では、オリフィス側を中心に亀裂状のキャビテーションが発生し、ほとんどが上端部、下端部からのものであり、しかも、数十cm後部では、亀裂状が無数の微粒子状に変化するという特徴がみられた。

偏心型では、弁体が上流側にある場合と下流側にある場合とでははっきりとした発生形態の違いが認められた。弁体上流側の場合では、ノズル側がほとんど閉じ、オリフィス側の開口部が大きく開くため、オリフィス側を中心にキャビテーションの発生がみられ、しかも弁全体から微粒子状のものがほとんどで、流速を上げても中心部のみに亀裂状の発生がみられるほかは始終変化がみられなかった。

これに対し弁体下流側の場合では、弁体上流側の場合とは反対にオリフィス側がほとんど閉じノ

ズル側が開くため、ノズル側の発生が中心で、しかも弁体上流側の場合の微粒子状とは対称的に亀 裂状の発生が中心をなし、発生部も上端部、下端部がほとんどであり、これも流速の変化による形態の変化は小さかった。

最後に、整流型では、上記の弁体とは全く異なり、櫛歯状の突起物によって流れが整流されている効果が顕著に表れているため、ほぼ弁体全体から微粒子状の発生がみられたが、弁体上下から1/4の所の櫛歯部の所だけ亀裂状が発生するという特異なものであった。

いずれの弁体についてもキャビテーション発生条件が異なり、一概には判断できないが、特にキャビテーションで問題となるのは、弁体エッジ部付近から直接亀裂状のキャビテーションが発生した場合と、この亀裂状のキャビテーションが後流の管壁付近で壊滅する場合である。

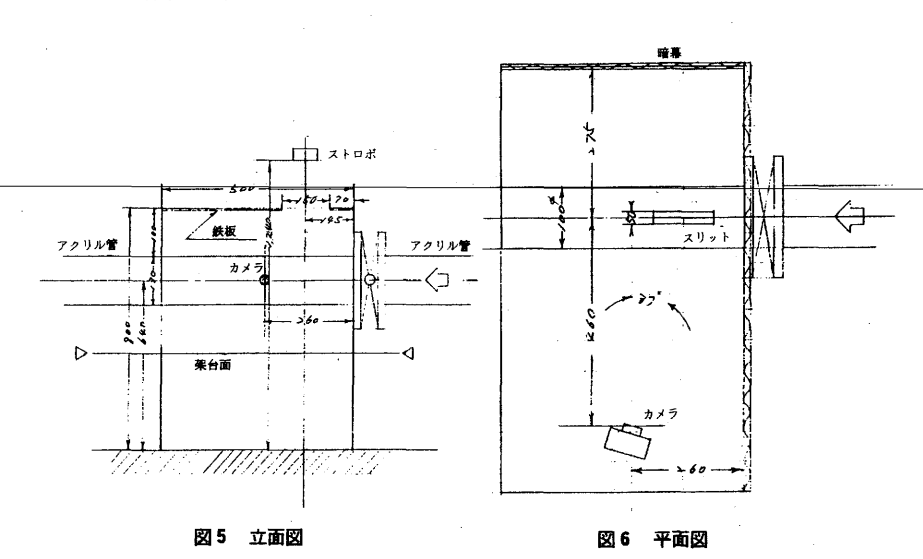
しかし、初生キャビテーション特性にはそれぞれの弁体のエッジ部のシート構造の微妙な違いが 大きく影響してくるため、安易な判断は慎まなければならない。

#### 4-4バタフライ弁の写真でみるキャビテーション発生形態

流れ模様の可視化やキャビテーション発生の目視観測は、現象の理解を助ける極めて有効な手段である。 文献等では可視化水槽を用いた目視観測や写真撮影が報告されているが、本実験では供試弁の上、下流にそれぞれ1mのアクリル管を取り付け、キャビテーション現象を写真撮影した。

#### (1) 撮影方法

写真撮影用の簡易な遮へいフレームを作製して、図5、図6のような位置関係でキャビテーション現象を撮影した。



これらに使用した機器は、下記のとおりである。

○カメラ 電子制御式35mm一眼レフレックスフォーカルブレーンシャッターカメラ(日本光 学工業株式会社)

- ○レンズ 50mm F.1.4 レンズ
- ○ストロボ オートパナ3650(松下電器産業株式会社)ガイドナンパ36(ワイドパネル使用時25) ASA 100/m米質 昼光用

#### (2) 撮影条件

キャビテーション現象の撮影条件について、種々検討したところであるが、写真の状態から判断すれば現状での最適な条件は下記のとおりである。

絞り(f)16

シャッタースピード(秒) 1/250

ストロボ高さ

配管中心より600mm

ストロボガイドナンバ

4 (ワイドパネル使用)

スリット幅

50mm

#### (3) キャビテーションの可視化

写真1に同心型弁体で上流側と下 流側の形状が非対称の弁体(非対称 型)にて発生したキャビテーション を示す。

キャビテーションの発生する位置は、弁体のエッジ付近(ノズル側)に発生するものと、弁体の上流(オリフィス)に少し離れて発生するものとがある。非対称型の同心型弁体では、キャビテーション現象を可視化で観測してみると、弁体の下流側1~1.5Dくらいまで透明域が生じており、その下流からキャビテーションが生じ始めることが理解できる。図7にその模式図を示す。

この透明域については、弁体の厚さによる影響とも考えられる。同心型では、この様な現象は観測できなかった。同心型のキャビテーション現象を写真2に示す。

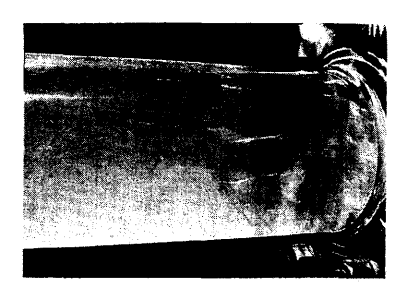
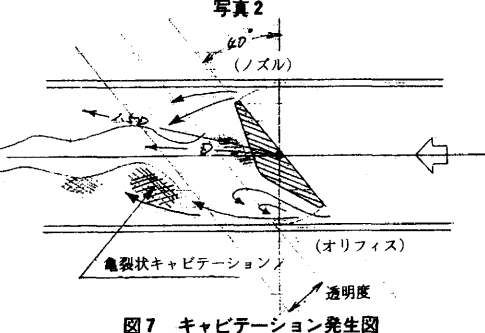


写真1





#### 4-5初生キャビテーション係数試験

図8および図9にバタフライ弁の初生キャビテーション係数を表したグラフを示す。

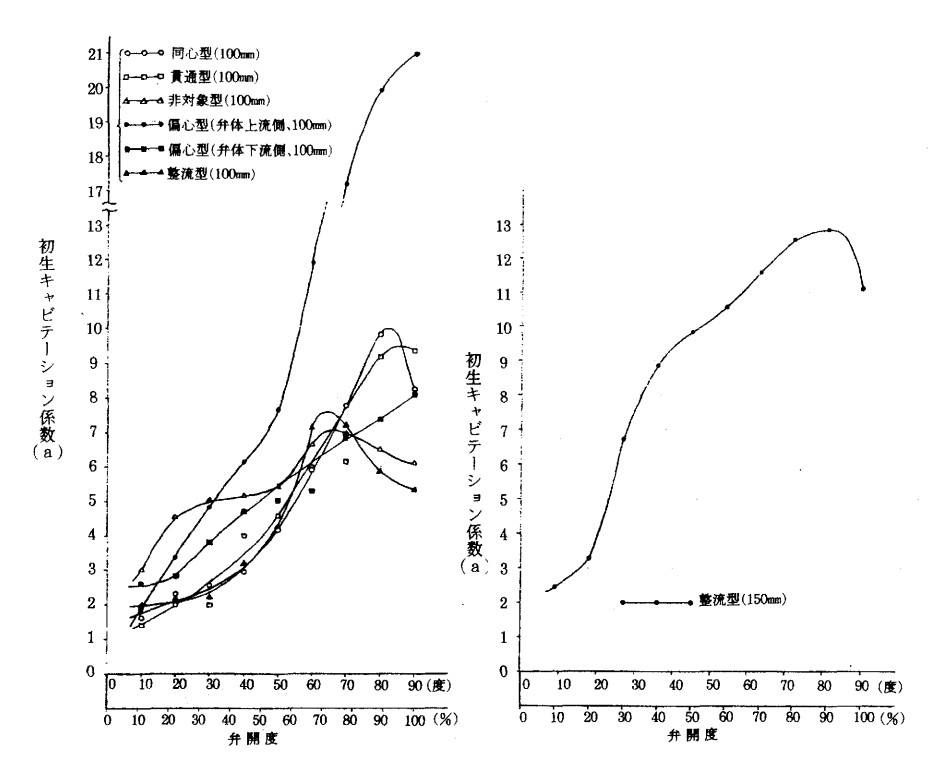


図8 バタフライ弁の発生キャビテーション係数

図9 バタフライ弁の発生キャビテーション係数

3-2で述べたとおり、測定は人間の聴覚によるもので定量化されていないため、異なった弁体間のキャビテーション特性を、これによって比較し断言することは危険性を伴うが、弁開度ごとの発生状況の変化や傾向は推し測ることができる。

図8の中で偏心型の弁体上流側のみ異常に高い $\sigma$ を示すが、これは実験中に配管系の不具合から空気の気泡が多量に混入した時の測定値であるため再試験の必要があり、今回の考察からは除外することにする。(参考までに記載した)

同心型と貫通型は、軸部形状が違うものの弁体形状そのものが酷似しており、ほとんど一致した傾向を示している。 $\sigma$ の値もほぼ同じ値で、しかも弁開度が大きくなるに従い $\sigma$ も比例して高くなり、弁開度90%付近で最大値を示す。

非対称型では、今回実施した6種類の弁体の中で開度全体での変化率が最も小さい。弁開度20~50%の間は徐々に $\sigma$ が高くなって大きな変化はみられないが、弁開度がそれ以上になると $\sigma$ は急に

高くなり、弁開度70%付近で最大値を示す。以降、弁開度100%までの間は逆に $\sigma$ の低下がみられる。これは、弁体下流側が特徴的な曲面でできているため、弁開度70%を境にして流動形態が形状の影響で急変するためと考えられる。 $\sigma$ の値は同心型に比べ弁開度70%までは高く、それ以上は低い値となっている。

偏心型 (弁体下流側) では、弁開度が大きくなるに従い $\sigma$ はほぼ比例して高くなり、弁開度100%で最大値を示す。他の弁では弁開度90 $\sim$ 100%で弁開度とは逆の傾向がみられるのに対し、この 弁体では $\sigma$ に対する影響がでていない。

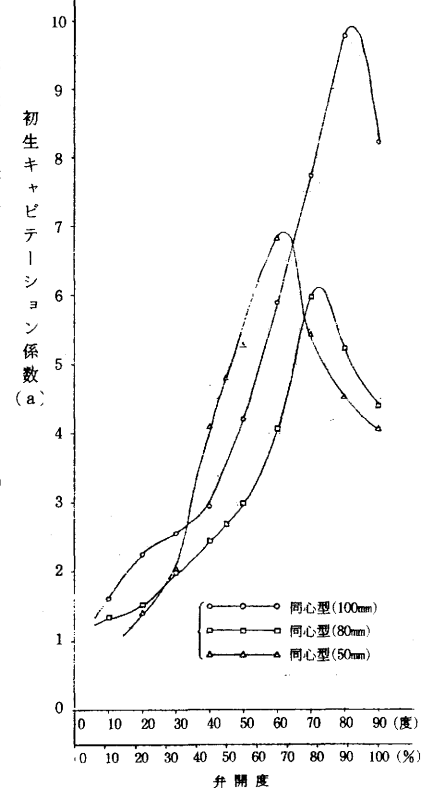
変形型では、弁開度70%までは同心型と $\sigma$ が一致し、 $\sigma$ が高まる程度も同じ傾向を示すが、弁開度70%付近のビークを境にして急激に $\sigma$ が低下する傾向を示す。

図9の整流型では、口径が150mmで他の弁体(口径100mm)と異なることもあって、単純には $\sigma$ の 高低は比較できないが、他の弁体と異なった傾向の曲線を描く。他の弁では弁開度40%くらいまでは徐々に $\sigma$ が高まり、それ以降ピークまで急激に高まるのに比べ、弁開度40%まで $\sigma$ は急激に上昇して、その後弁開度90%のピークまでは $\sigma$ の高まる傾向は若干小さくなっている。

以上個別にみてきたが、全体として弁開度が70%までは同心型、貫通型、変形型のσが低く、 弁開度70~100%では変形型、非対称型のσが 低い値を示す結果となり、弁開度によって弁体 形状の特徴が表される結果となった。

次に、口径によるキャビテーション係数の差 異をみるため、同心型の弁体に限って実験の終 了した口径50mm、80mm、100mmの結果を比較し たグラフを図10に示す。

傾向としてはいずれの口径も弁開度が大きくなるに従いσが高くなり、一度ピークを経た後低下するという同じパターンで推移しているが、口径によってσがピークを向かえる弁開度が異なっている。すなわち、σの高低には差があるものの、口径50mmでは弁開度70%、80mmでは80%、100mmでは90%でピークを向かえており、口径が大きくなる程全開付近に近づいている。これは弁体の構造上明かなように、口径が小さくなる程管内に占める弁体の投影面積の割合が大きくなって、弁体そのもののエッジ部分の形状や種々の出っ張り等細部の影響を直接受け易いことからでも推察することは容易である。



さらに、初生キャビテーション時の差圧および流速・流量を図11、12および図13、14に示す。

まず、図11、12の差圧については、同心型系の同心型、貫通型、変形型が弁開度10~80%の間では、そろって高く推移しており、初生キャビテーションが発生し難い傾向を示している弁体形状といえる。これに反して、偏心型、整流型では概ね弁開度80%以下で低い差圧を示し、発生し易い傾向を示している。また、非対称型については、初生キャビテーション特性曲線と同じく、他の弁体とは違った独自の曲線を描いており、弁開度100%では最も高い差圧を示している。

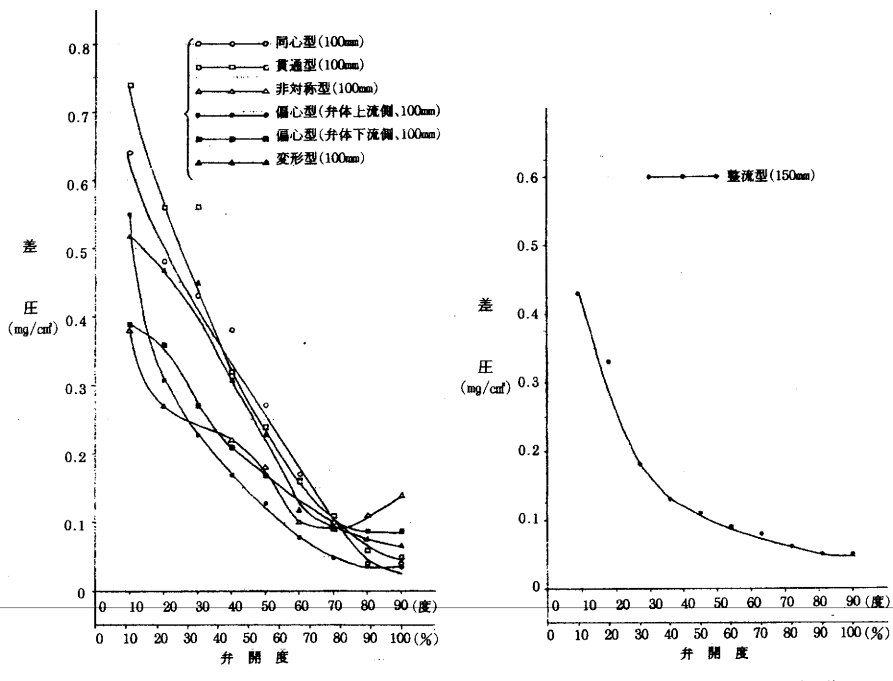


図11 パタフライ弁の発生キャビテーション時の差圧

図12 バタフライ弁の発生キャピテーション時の差圧

しかし、図13、14の流速・流量については、次の4-6でも述べるが、中間開度では偏心型、整流型、変形型の弁体が多く流れ易い構造のため、差圧が低くても他の同心型系の弁体に比べ、初生キャビテーション発生時に流量が多いことが分かる。つまり、整流型は弁開度が大きくなるのに比例して流量は大きくなり、弁開度100%で最大値を示す。非対称型は弁開度80%付近まで流量は上昇し、それ以降弁開度100%までは徐々に小さくなる傾向を示すが、同心型に比べてははるかに大きい流量を示す。

偏心型(弁体下流側)では、以上の弁体と同心型系のほぼ中間に位置している。弁体上流側は系内に空気が混入している関係で、初生キャビテーション係数が急激に上昇した弁開度60~100%でほぼ一定の流速・流量を示している。

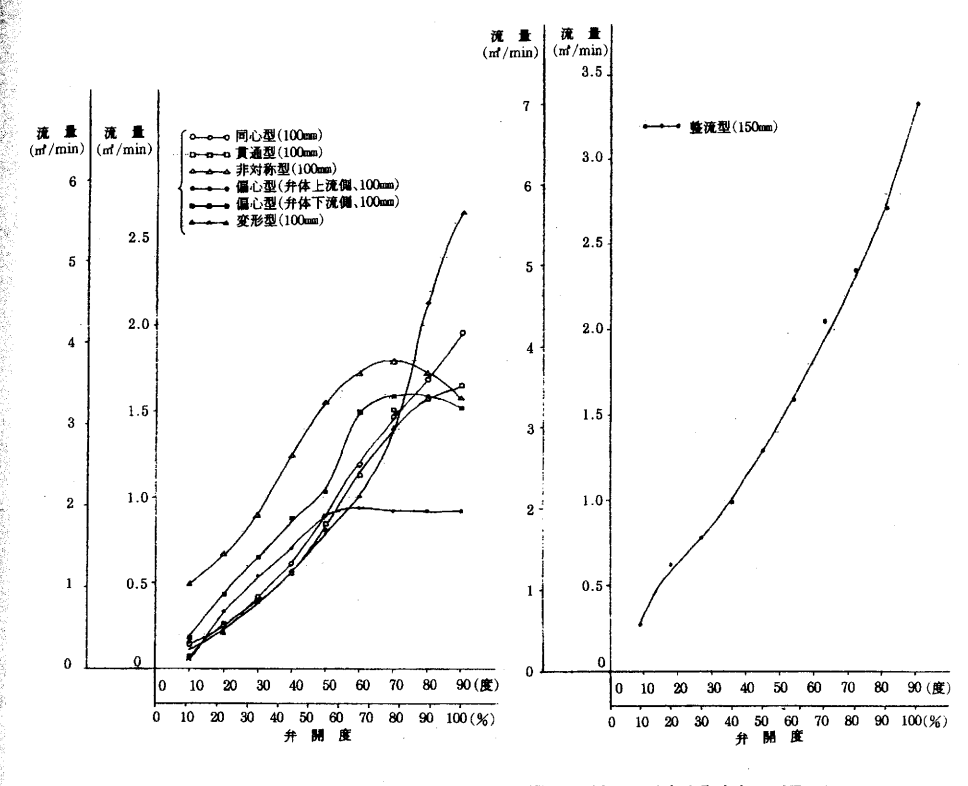


図13. パタフライ弁の発生キャビテーション時の流速・流量

図14 バタフライ弁の発生キャビテーション時の流速・流量

このことから、整流型や非対称型の弁体では、 小さい差圧状態で初生キャビテーションが発生 し易くても多くの流量が得られる反面、同心型 系の弁体では大きな差圧状態でないと初生キャ ビテーションが発生しないものの流量はそれほ ど得られないという傾向が分かる。

#### 4-6 C v 値試験 (容量係数試験)

図15は、同心型で弁体の厚さを0、弁開度100 %の時の投影面積が0の円形理想弁体を考えた 時の弁開度と開口面積比の関係を示したもので ある。開口面積比は、次の式により求めた。

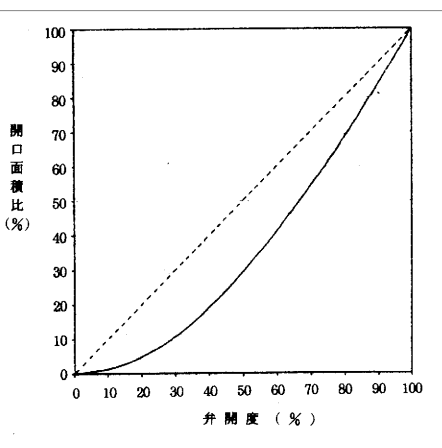


図15 バタフライ弁の開口面積比

 $y = \{1 - \cos(\frac{\pi}{2} \times \frac{k}{100})\} \times 100$ 

y:開口面積比

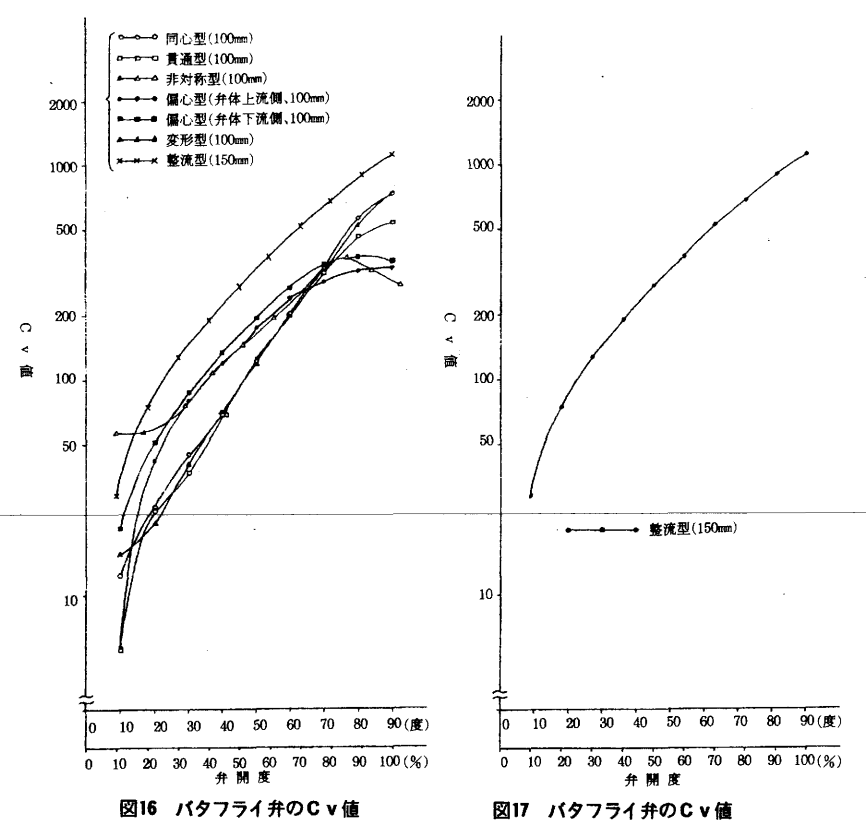
(%)

k: 弁開度

 $(0\sim100\%)$ 

実際のパタフライ弁は、弁開度100%の時の投影面積が0でなく、しかも形状が複雑なため正確な開口面積を計算することは事実上困難で、特に口径の小さいパタフライ弁では細部の形状による開口面積への影響が甚だ大きく、逆に大口径になる程この曲線に近づくことになる。(ただし、同心型の場合)

このことは、図16、17に示す試験の結果にはっきりと表れている。



他の仕切弁等については、昭和63年度の研究報告書で報告 $^{9}$ されたとおり、弁開度 $^{100}$ %においては口径が同じであればほぼ同じ $^{100}$ 00 v値をとるが、図から分かるように弁体形状の種類や弁体ボリュームによって弁開度 $^{100}$ 00 v値のパラッキが大きい結果となっている。

すなわち図16で、弁開度100%において口径100mmでは弁軸と弁体が一体となった同心型および変 形型が最もC v 値が大きく、系内に弁軸と弁体の両方が存在する偏心型や弁体ボリュームの大きい 非対称型のC v 値がやや小さい値となっている。これに対し、中間開度においては、弁体形状によって歴然とした差がみられ、逆に中間開度で開口面積が大きくなる偏心型、非対称型のC v 値が大きくて、同心型、変形型のC v 値が小さく、弁体形状の特徴を如実に表している。この中で、非対称型の弁体だけがS字型の曲線を描き、開度全体におけるC v 値の変化率が最も小さくなっており、他の弁と異なる性状を示している。

また、図17の口径150mmの整流型については、口径が大きい分高いC v値を示している。 次に、同心型のバタフライ弁でC v値と口 径との関係を図18に示す。

4-5と同様、口径50mm、80mm、100mmについて検討しており、口径が大きくなるに従って弁体の軸部の出っ張り等の影響が少なくなっているためにCv値も大きくなり、弁開度100%付近での曲線の曲がりが小さくなっている。これに対し口径50mmでは、開口部に占める弁体投影面積の比率が最も高く、これがCv値に直接影響をもたらしていると考えられる。

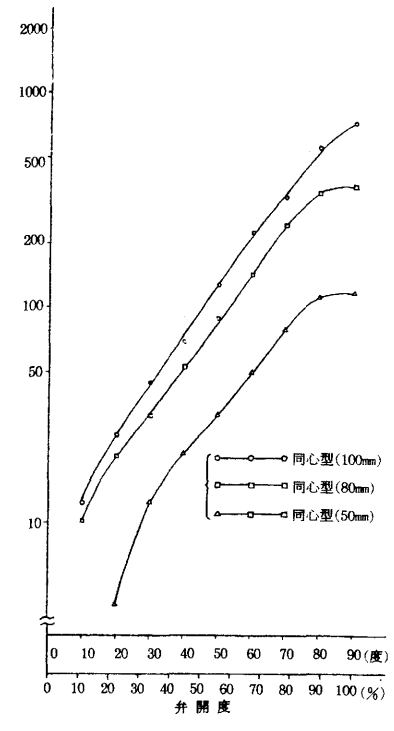


図18 バタフライ弁のC v値

以上の結果をもとに、それぞれの弁体形状ごとに最も高いC v 値を100%として弁開度とC v 値比の関係を示したのが図19、20である。

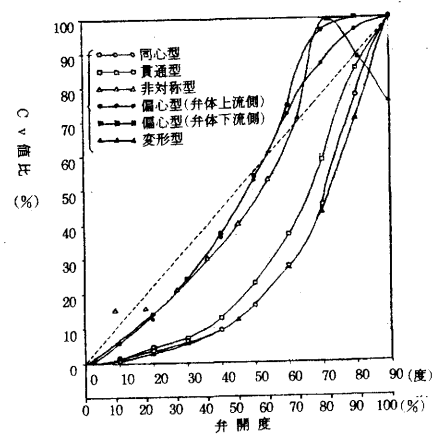


図19 バタフライ弁の弁開度とC v 値比の関係

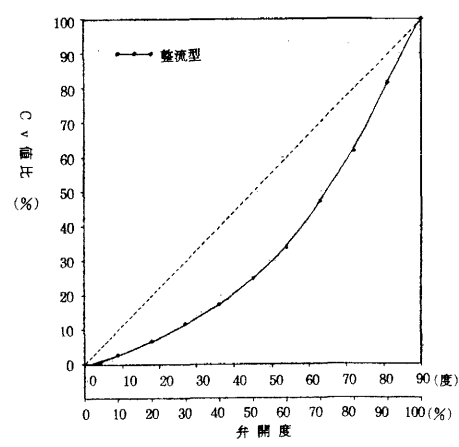


図20 バタフライ弁の弁開度とCv値比の関係

このグラフは、全開度での最も高い C v 値に対して、他の中間開度ではどのような特性を持っているかを示すものである。これによれば、中間開度では偏心型および非対称型の弁体で弁開度と C v 値比の関係が他の弁に比べイコールパーセント直線に近づき、他の同心型系の弁体は大きくイコールパーセント直線から離れて典型的な 2 次特性を示し、図15に示した開口面積の計算値を示すグラフの特性とほぼ一致した傾向をそのまま反映したものとなっている。また、全開付近での偏心型と非対称型の弁体で変化率が揺るやかになっているか、逆転しているのは、弁体が軸と重なり投影面積が不規則になる影響が大きいためである。

しかし、バタフライ弁を流量調整に用いる場合、その配管系での目的に応じてバタフライ弁の特性を選択する必要があるため、このグラフによって性能を比較することは困難である。

つまり、例えば緊急時に急激に C v 値を抑える特性を要求されるような場合は、偏心型や非対称型のリニア特性は不向きであり、また、差圧を制御する場合は流量との関係が 2 次関係にある同心

型や変形型のような弁体が望まれることから当然といえる。加えて、使用される流体の種類によってもその性質が大きく異なり、また、最も使われる開度によってもそれぞれ要求される特 c性があるため、選択される弁体はおのずと変わってくることになる。

図21は口径ごとにC v値比を表したもので、 (%) 先ほどのC v値の口径による差異の検討から予想される結果となっており、系内での障害が小さい口径100mm (弁体ボリュームの占める割合が3種の口径の中では最小)が一番リニア特性から離れて2次特性に近づく結果が得られており、全開付近での特性は図19の場合と同じであ

る。

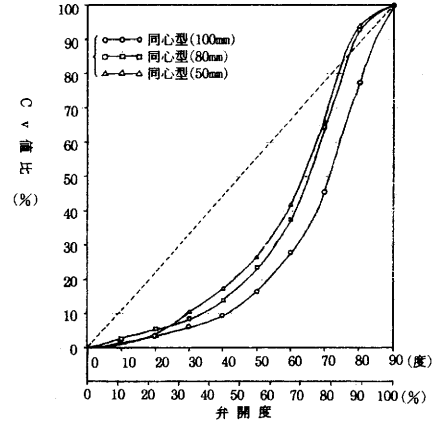
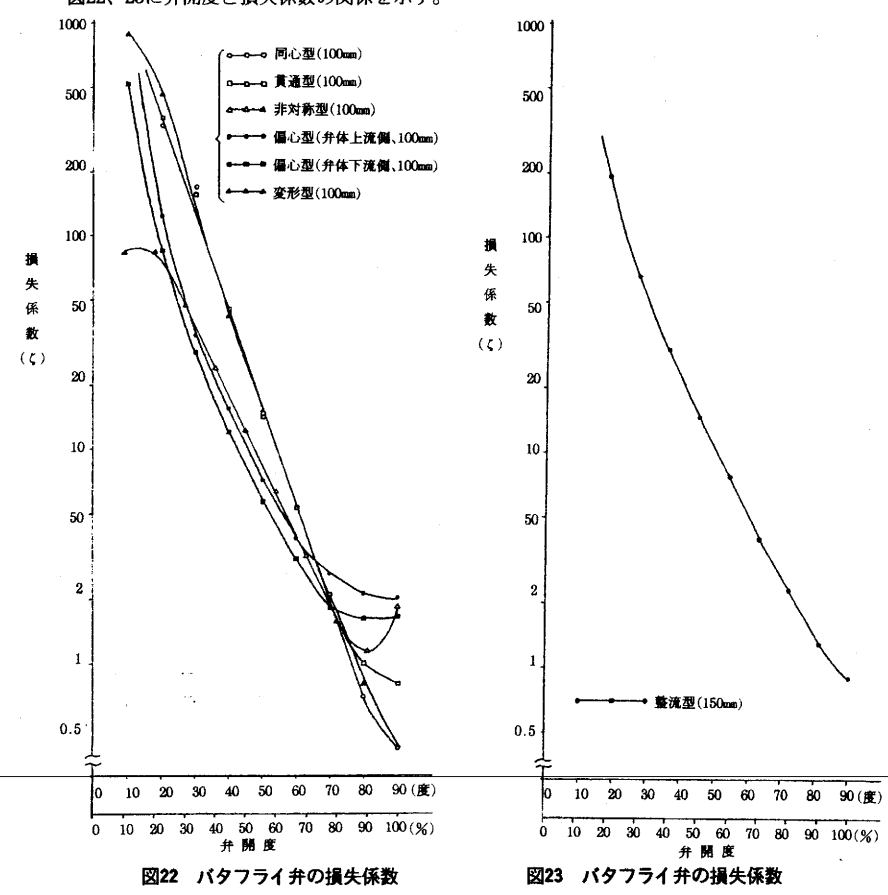


図21 バタフライ弁の弁開度とC v 値比の関係

#### 4-7損失係数試験

図22、23に弁開度と損失係数の関係を示す。



C v 値と同じ理由により弁体の種類の特徴によって差異が顕著に表れている。弁開度 $0\sim20\%$ の 低開度では、非対称型が他の弁に比べ低開度で急激に大きな開口面積を得られるため、特異的に  $\zeta$  は小さくなっている。中間開度では、偏心型の $\zeta$  が最も小さく、同心型系が最も大きい $\zeta$  を示すという結果となっている。また、弁開度100%付近については、C V 値とは全く逆の順位を示しており、偏心型や非対称型の $\zeta$  は大きく、同心型系の $\zeta$  は小さくなっている。これも1-6 と同様、弁体の管内でのボリュームによる障害度によって $\zeta$  が大きく左右されているといってよい。

次に、図24に同心型のバタフライ弁について、 口径別に弁開度ごとの損失係数を示す。

中間域ではいずれの口径も、ほぼ同じ特性を 持っているが、弁開度100%では弁体の投影面 精比率の差がそのまま表れており、口径が大き くなるほどとが小さくなっている。

#### 5. 今後の実験方針について

5-1騒音・振動解析装置によるキャビテーショ ン現象の評価

始めに述べたとおり、バルブのキャビテーショ (5) ン特性の評価方法については、現在、実用的な ものとして確立されたものがなく、正確かつ適 切にこの現象をとらえるためには、キャビテー ションの検知技術が不可欠である。

しかし、数々の研究論文や実験報告の中でも わかるように、キャビテーション現象に伴って 発生する特徴的な振動や可聴域での騒音を計測 する方法がやや一般的であるといえる。また、 可聴域以外でもキャビテーションが超音波を発 生することはよく知られているところで、周波 数f=91kHzの超音波によって評価されている 実験報告もある $^{10)11)}$ 。逆に、キャビテーショ ンを発生させる技術についても、ある周波数の

振動を利用し、チタン酸バリウム (BaTiO3) の輪型トランスジューサを用いてこれに脈動電

図24 バタフライ弁の損失係数

圧をかけ、膨張、圧縮を強制的に起こさせる装置もEllis<sup>12)</sup>によって開発されている。

このように、キャビテーションにとって振動、騒音は切っても切れない相関関係があるものとさ れている理由から、当所でも平成元年度に騒音・振動解析装置を導入することとなった。現在、こ の装置を用いて、加速度センサーを使用してキャビテーションの振動データを収集し、振動レベル を周波教軸上で異なるデータと重ね合わせ、キャビテーション発生と同時に立ち上がる周波数域を 見い出す方法を検討中である。しかし、現実にはデータ検知用センサー(またはマイクロホン)の 位置設定の問題や、周囲の送流ポンプ等の暗騒音がかなり高く、遮音の必要性があるなどの問題が 残されており、直ちに実用化できる目度は立っていない。

#### 5-2キャビテーション発生に及ぼす空気含有量の影響

4-1で溶存する気体(空気)がキャビテーションの発生(初生)を促進する原因の1つである と述べたとおり、たとえば流体が水の場合、系内に空気が溶けているのが通常で、本来のキャビテー ション、すなわち流体の蒸気泡の発生にとって無視できない要因である。また、流体が沖類の場合 13) は水の場合に比べて溶存空気量が極めて高く、特に配慮が必要となる。

ところで、空気の組成はO,:N,=1:4であるが、液体に対する溶解度が異なり、しかも溶解量は その気体の分圧のみに比例するため、溶解量としてはO::N=2:1と逆転し、酸素の方がより多く 溶け込んでいる。ここで、系内の圧力が低下していった場合を考えると、全く空気がない場合は水 蒸気圧まで低下しない限り系内に水蒸気泡が起こらないのと対象的に、空気が溶存している場合、 滅圧で膨張し始めた空気による空間に水分子が入り込めば、直ちに水分子は水蒸気化され、爆発的 に泡の発生を起こすことになる。従って、キャビテーションにとって溶存空気は初生を促進する影 響力を持つことは明らかである。

沼知、椎名ら1)は、このことを考慮してキャビテーションの初生に関して次のキャビテーション 係数を提案している。

$$K_1 = \frac{P_1 - P_2}{(\rho V e^2)} \frac{e}{2}$$

P<sub>1</sub>:空気飽和圧

P。: キャビテーション発生圧

o :流体の密度

V。: 最小断面の流速

このように、キャビテーションに関して、初生を重視するならば空気含有量を直接正確に測定す るか、あるいは間接的(酸素量を測定し溶存空気量を推定する)に測定する技術も要求されること になる。

#### 5-3写真撮影によるキャビテーション発生過程の把握

本実験では、各種弁体でのキャビテーション現象の撮影が一種類のみで、弁体ごとの比較ができ ていないこと、さらにはフラッシュによる撮影のため、キャビテーションの発生部分が不明瞭な乳 白色の領域\*1)としか捉えられない等の問題がある。

したがって、今後の方向として、

- ①陰影の少ないキャビテーションを観察するため、短閃光ストロボによる写真撮影条件を設定する。
- ②可視化水槽における弁体形状とキャビテーションの比較をする。

を行って、弁体形状にかかる性能試験データの裏付けを図るとともに、流れの構造を把握して、 配管系の振動、騒音の軽減を進めなければならない。

\*1 キャビテーション係数1.36以下、差圧0.7kgf/cm²以上

#### 5-4 弁体形状とキャビテーション特性の因果関係の検討

今年度の研究では、特に実験期間の制限から既存バタフライ弁の弁体形状ごとの初生キャビテー ション係数試験に的を絞って実験を行ってきた。しかし、実用上バタフライ弁で問題となっている のは、キャビテーション成長時の振動・騒音および弁体自体と弁体下流側配管での壊食現象の抑制 である。このため、現在の実験段階で弁体形状とキャビテーション特性の因果関係を検討すること は実質上困難で、これらの条件に合わせた本格的な性能試験が必要である。(平成2年4月~10月 実施予定)

また、キャビテーションの普遍的な評価方法がないことや、初生については先に述べたとおり、 密存空気の影響が無視できないことなどの諸問題による障害を並行して克服することも必要である。

#### 5-5CAD/CAM/CAEシステムによる低キャビテーションバルブの開発

以上、低キャビテーションパタフライ弁を開発するにあたって、既存パタフライ弁について、用途、弁体形状、口径ごとに基礎データとなる各種流体性能値が測定できれば、平成2年度にCAEシステムを導入し、完成品ができるまで試作することなくキャビテーションに対して高性能化を図る研究へと引き継ぐ予定である。

以下にこのシステムを用いた研究の流れと若干の説明を示す。

(1) 新製品バルブの基本構想企画立案

性能試験測定データに基づいて、流体力学的に検討を加え、弁体形状との因果関係から理想と する性能データを持つ改良されたパタフライ弁の基本構想を企画する。

- (2) CAEシステムでのモデリング(セットアップ作業)
  企画立案した理想バルブの弁体について、流体解析用の形状データをCAEシステムに入力する。
- (3) 流体解析用ソフトによる解析とシミュレーション

流体解析用ソフトを使用し、乱流モデルを設定して弁を流体が通過する際のマーカー軌跡と、 特に弁体周辺の速度ベクトルおよび圧力変化のメッシュ表示等をすることにより、弁体形状によるキャビテーション発生領域の推定と、形状修正によるシミュレーションを繰り返して性能を評価し、キャビテーションを抑えた弁体形状を見い出す。

(4) 新製品バルブのモデル出力

解析・シミュレーションによって得られた理想バタフライ弁の形状データを出力する。

(5) 強度解析

改良した基本モデルをFEM(有限要素法)により強度解析して、実流状態を想定した時の応力・歪分布を求め、機械的強度を確認する。

(6) CAD/CAMシステムによる設計および加工

CADシステムにより設計図面を作成し、更にCAMシステムにより弁体をMC加工して新製品を試作する。

#### 6. CAD/CAMアンケート調査結果について

5-5で説明したCAD/CAM/CAEシステムは、現在では電子工業、機械金属工業、デザイン工業を始めとする産業全般に幅広く利用されており、従来製品の改良あるいは新製品の開発、デザイン開発にあたって、大きくその威力を発揮している。また、CAD部門においては、コンピュータの高性能化、低価格化が一段と進む中で、ソフトメーカーも時代の流れに即応して、目的に応じたソフトを開発販売しており、急速に普及しつつあるシステムである。

特に、中小企業においては、操作上、価格上の面で手がとどき易いパソコンを主体としたシステム が数多く導入利用されている。

当然、地場産業であるバルブ業界においても、製品開発にあたっては、期間短縮、コスト低減、品

質向上を目標として取り組まれているが、今まで以上にこれを実現し、また、ユーザーニーズの多様 化によるパルプのパリエーション化に対応するため、生産現場での多品種少量生産に対処するために は、パルプメーカー独自で既存弁の改良や手直しをする上で不可欠なツールといっても過言ではない。 しかし、パルプについて考えてみると、バルプは特に他の分野とは異なり、機械や部品の一部を構

しかし、バルブについて考えてみると、バルブは特に他の分對とは異なり、機械や部品の一部を構 成するのではなく、複雑なシステムの中で流体を制御するという重要な役割を担っており、形やデザ インよりもむしろ機能や性能が重視される製品と評価されているという特異性を持っている。

こうした中で、バルブ業界でも一部の企業において4~5年前からこうしたシステムが導入され始め、それなりの効果を上げている。当所では、地場産業におけるCAD/CAMシステムの導入、稼働状況を把握する目的で、バルブメーカーを主体に21企業を選定し、調査を実施したので以下に報告する。

調査項目は大きく分けて(1)バルブの設計について、および、(2)バルブの加工について調査を実施した。(平成元年8月現在)

- (1) バルブの設計について
- (1)-1設計方法について

調査時点で、CADシステムを導入されている企業は全体で7社あり、水道用バルブ製造メーカーが4社、陸用バルブ製造メーカーが3社であった。また、導入されているシステムは、武藤工業製のCADシステムが4社と一番多かった。

これは、水道用バルブ製造メーカーは規格弁の製造が中心で、日本工業規格(JIS)および日本 水道協会規格(JWWA)により基本的な寸法が定められており、ユーザーニーズによる設計図面 の一部手直しが多く、しかも他の種のバルブに比べ、ロットも比較的多いこともあり、設計図面 のDB化による効率が良いという長所があって、経営側からみても投資効果が大きいため導入が 進んでいると思われる。

一方、陸用バルブ製造メーカーの1社は導入されてはいるが操作される人材がおらず、他の2社では、通常のプラント用以外に、空調用あるいは機械設備の一部を構成する油圧バルブとして、バルブ本体以外にバルブの駆動制御やトータルシステムの一部としての機能を持つという付加価値の高いバルブが製造されており、旧図面の手直しという使われ方のほかに、新規受注や新製品開発にも重点が置かれた導入である。

(1)-2 設計期間について

設計期間については、通常の手直し程度の設計では2~10日と回答している企業がほとんどで、新製品の開発を伴う設計では2~3年と回答しており、設計目的によって期間が大きく分かれている。

(1)-3 設計図面について

調査した全ての企業で、ロッカーに設計図面の保管がされている。また、CADを採用している7企業の内、4社についてはロッカー保管と同時にDB化され効率的に活用されている。

(1)-4 部品、図面、設計手順等の標準化について

部品と図面の標準化については、大半の企業で標準化が進められており、部品については15企業、図面については14企業で実施となっている一方で、設計手順については5企業と標準化が進んでいないのが現状である。この中の図面の標準化では、バルブの品種や呼び径などの種類ごとの標準化や、組立図、加工図、承認図ごとの標準化が主なものである。

(1)-5 将来のCAD採用計画について

現在CADを採用している企業以外に、積極的に計画している企業はほとんどなく(13社)、その理由として、CADを操作をする人員がいないことを上げており、人材不足が大きく影響している。

(1)-6 当所導入予定のCAD/CAM/CAEシステムを使用した共同研究について

17企業が当所との共同研究を希望しており、当システムに対する期待の高さがうかがえる結果となっている。この内13企業については、共同研究の中で必要とするならば所有している設計図面の提供も可能であると積極的な回答をしている。

- (2) バルブの加工について
- (2)-1 NC設備の保有状況について

13企業が何らかのNC設備を保有しており、MCは4企業17台、NC旋盤は13企業51台、その他の設備は5企業8台という結果となっている、NC旋盤の導入が圧倒的に多く、弁座等の銅合金材の部品加工に使用されている。

MCの導入については、近年増加傾向にあるが、各種パルプの弁箱の全加工に使用され、一部 企業では弁体の加工も行われている。

今後の導入計画とも関連して、MCの導入計画は一社にとどまっている。このことは、オペレータの不足と同時に取り付け治具等の作製に対応できない技術レベルや、ツーリング・工具類等の付帯設備に資金がかかり過ぎてコスト的に合わない点も一因である。

(2)-2 NC設備を操作する人員について

調査企業全体で42名であるが、1名しかいないという企業が6社もあり、人材不足という厳しい 状況におかれていることを示している。

(2)-3 今後のNC設備導入計画について

計画のある企業が7社と、調査企業の1/3しかない。

(2)-4 CAD システムとNC設備をドッキングさせたCAM化について

計画および構想のある企業が、全体で2社と少ない結果であるが、この背景にはバルブおよびバルブ部品においては加工箇所が少なく、加工精度も他の機械部品等に比べてラフで、しかも受注形態がが多品種少量生産に移行していることにより、採算ベースが下降している点に起因すると考えられる。

#### 7. まとめ

キャビテーションを抑制した弁体形状を見い出すため、弁体形状の異なる既存パタフライ弁について、キャビテーションに関する試験を中心に実験を行った。結果をまとめると次のようになる。

(1) キャビテーションの発生形態は大きく分けて、目視で2種類観測され、亀裂状および微粒子状のキャビテーションであった。また、キャビテーションの発生部位は弁開度によって異なるが、中間開度においては、整流型は弁体全体から、その他の弁体はほぼ弁体上端部、下端部からのもので、特に亀裂状のキャビテーションについては、偏心型(弁体下流側)のノズル側からの発生を除いて

はオリフィス側からの発生が中心となっていた。

- (2) キャビテーションの性状で、弁体および配管の壊食に大きく関与すると思われるのは、文献等から破壊エネルギーの大きい亀裂状のキャビテーションが支配的であるが、バタフライ弁のキャビテーションは、その構造上から避けて通れない面があり、使用上においてもその配管系で目的に合わせた特性の選択が行われているため、本実験で得られたデータより弁体の優劣を決めるのは甚だ問題が大きい。
- (3) 初生キャビテーション係数  $(\sigma)$  は、弁開度が70%までは同心型、貫通型、変形型が小さく、弁開度80%以上では変形型、非対称型の $\sigma$ が小さいという結果が得られ、弁体形状によって特性曲線の傾向の相違がはっきりと表れた。
- (4) 初生キャビテーション時の流量、差圧をみると、整流型や非対称型の弁体では小さい差圧状態で 初生キャビテーションが発生し易くても多くの流量が得られる反面、同心型系の弁体では大きな差 圧状態でないと初生キャビテーションが発生しないものの流量はそれほど得られないという傾向が 分かった。
- (5) 今回の実験では、キャビテーションの評価が、人間の五感による定性的評価であるため、キャビ テーション係数等のデータの再現性に劣るという問題がある。
- (6) キャビテーション現象を定量化するためには、FFT アナライザーによる固有周波数でのキャビ テーション検知評価技術の確立が急がれる。
- (7) 初生キャビテーションに関しては、流体系内の溶存空気の影響が大きいと考えられるため、試験 時に溶存空気を測定し、これを考慮する必要がある。
- (8) C v 値試験の結果からは、弁体(形状および投影面積)によって性能が大きく異なり、中間開度では開口面積が大きくなる偏心型、非対称型のC v 値が大きく、逆に全開付近では同心型系の弁体のC v 値が大きかった。
- (9) 口径別にC v 値をみると、低開度および全開付近の特性から、口径の小さい弁体ほど開口部に占める弁体投影面積の比率が高くなってC v 値に直接影響を及ぼすとともに、弁体軸部の出っ張り等の影響が大きくなっている。
- (10) 弁開度と C v 値比の関係からは、中間開度で偏心型、非対称型の弁体がイコールパーセント直線に近づき、他の同心型系の弁体は典型的な 2 次特性を示した。このことは、偏心型は弁自体のシール性が重視され、同心型系は配管系内の差圧や C v 値を制御する目的に使われることとよく一致した結果が得られた。

(11)損失係数試験の結果からは、低開度では非対称型の弁体のくが特に小さく、中間開度では偏心型、全開付近では同心型系が小さくなっていることが分かり、弁開度によってその特性が大きく異なることが分かった。これは、各開度における弁体ボリュームの障害度が大きく影響し、特性を左右していると考えられる。

#### 8. 参考文献

- (1)JIS B 2005-1987: バルブの容量係数の試験方法
- (2) P. Cormaut: Contribution a l'etude de l'influence des teneurs en gaz de l'eausur la cavit ation dans les turbomachines hydrauliques', Bulletin de Centre de Recherches et D'essais de Chatou, p. 9, dec. 1962
- (3)沼知福三郎、椎名武:キャビテーション発生機構に関する一寄与、日本機械学会論文集、1937
- (4) Knapp, Daily, Hammit: Cavitation (McGraw Hill Book Co.), p. 6, 1970
- (5) Rayleigh: On the Pressure Developed in a Liquid during the Collapse of a Spherical Cavity. Philosophical Magagine, Vol. 34, 1917
- (6) Föttinger: Hydraulische Plobleme(VDI-Verlag), 1926
- (7)赤松映明、藤川重雄:液体衝撃波管によるキャビテーション気泡の崩壊の観測、日本学術会議第 一回キャビテーションシンポジウム、1975
- (8)大島亮一郎: 蝶型弁のキャビテーション発生と寸度効果、日本機械学会講演集、1966
- (9)村口明義:バルブ製品の性能に関する研究、昭和63年度滋賀県立機械金属工業指導所業務報告書
- (10)沼知福三郎、島 章、小林陵二:拡大管のキャビテーションが発する超音波、東北大学高速力学 研究所報告、1960-1961
- (11)小堀 威、横山重吉:超音波の検出によるキャビテーションの判定方法について、日本機械学会 誌、1955
- (12) Ellis, A.T.: Production of Accelerated Cavitation Damage by an Acoustical Field in a

  Cylindrical Cavity. Jour. Acoust. Soc. Am., 1955
- (13)板谷松樹、河野一夫:油中に溶解する空気の量、日本機械学会誌、1945
- (14)佐藤、丸本、森岡、吉居:水道用バタフライ弁のキャビテーション特性の改善について、昭和63 年度滋賀県立機械金属工業指導所業務報告書
- (15)山崎 卓爾:キャビテーション工学、日刊工業新聞社、1979
- (16)宮田 弘:バタフライ弁の利用上の要点と課題、配管技術、1987
- (17)米村 豊:上水道におけるバタフライ弁の選定と使用上の留意点、配管技術、1987
- (18)辰巳、太田、北村、山崎:バタフライ弁における流れの可視化、バルブ技報、1986.5
- (19)(社)日本機械学会:写真集「流れ」、丸善(株)

# 溶射処理材料のかじり摩耗特性の評価

#### 滋賀県立機械金属工業指導所

主任技師 酒 井 一 昭カオス・ハイテク協同組合

技術部長 種 崗 一 男

#### 1. はじめに

各種の表面改質技術の典型的方法として、CVD、PVD、溶射、メッキ、固相接合法等が上げられ、それぞれの方面で盛んに研究が行われている。近年、急速な発展を遂げている溶射技術においても、誌上等で紹介されているように新溶射法が次々と開発され、非常に脚光を浴びている。特に、セラミックスなどの高融点材料を容易かつ高能率に溶射できるプラズマ溶射は、耐摩耗、耐食、耐熱、あるいは断熱性、電気絶縁性などを付与する目的で利用されることが多い。

当所においても、産地活性化の一貫として、新材料を応用したバルプ開発を指向するため、プラズマ溶射によるセラミック皮膜のバルブ摺動部への適用性を検討しており、今年度は、現在多用されている酸化物系で、アルミナ、チタニア、クロミアを取り上げて摺合せ試験を実施したので報告する。

#### 2. 実験に際して

#### 2. 1 被溶射試験片の選定

図1で示されるように、溶射試験片を使って摩耗試験をするとき、試験片組合せとしては、固定子(上側試験片)および摺動子(下側試験片)を共に溶射した組合せと、これらのどちらか一方のみを溶射した組合せがある。今回の実験では、どちらか一方のみでも溶射の効果が期待できるという過去のテータと、ゲートバルブの製造において、弁箱付き弁座を溶射するよりも弁体に直接溶射する方が加

工が容易で、しかも現実的なことから、固定子は素材のまま研磨(▽▽▽)して、摺動子の方に各種の溶射を施した。

### 2. 2 実験計画

表1に溶射処理材料の選択条件としての 制御因子と水準を、また、試験時の誤差因 子には摺動速度を表2のとおり設定した。 表1の各因子はL<sub>16</sub>の直交表に1列から順

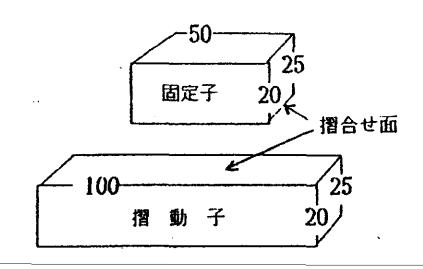


図1 試験片の形状・寸法

				Ι,	* *		
	料料	8	Ŧ	1	2	3	
A	母材の	材實		SUS304	PC20		
В	溶射剂	(Iop	coat)	7837	7#27-+3=7	<b>アルミナ・タロミア</b>	
				Ī	(6:4)	(1:1)	
С	粒度			小 (特注)	中		
				15~5 µ	a 25~8μa		
D	對孔処	理		無	At独り	摊压封孔	
					(7x/-#)	(799A)	
E	研磨の	度合		∇∇	$\triangle \triangle \triangle$	7,7 7,p	

表1 溶射皮膜の選択条件

紙 兼 因 子	* 1	<b>#</b> 2
F 指動速度 mm/min	100	80

表 2 試験時の誤差条件

に割付けて内側因子とし、表2 は反復実験で外側因子とした。 制御因子の主な検討事項は次の 2つである。

#### 1).粒度

酸化クロムは粒度大が難しいので、小と中を選定。また、粒度小は標準ではないので、 $15\sim5\,\mu$  mを特注し、さらにクロムのみでは粒子間の結合力に問題があるため、酸化アルミの混合粉末を利用することにした。 なお、粒度 C は 2 水準になるので、粒度の小さい方が摺動性に対して良いと考えられるから、これを擬水準とした。

なお、図2は使用した粉末 の粒度分布を示した。アルミ ナ、チタニアは指定粒度に対 して分布が顕著であるが、ク ロミアの分布の山形がなだら かになっている。

#### 2).膜厚

膜厚は、今回の実験計画では、選択した溶射剤における溶射条件の詳細にはふれていないので、各溶射剤の標準的条件を考え統一し、Top coatとして300μm溶射後、研磨して200μmにした。

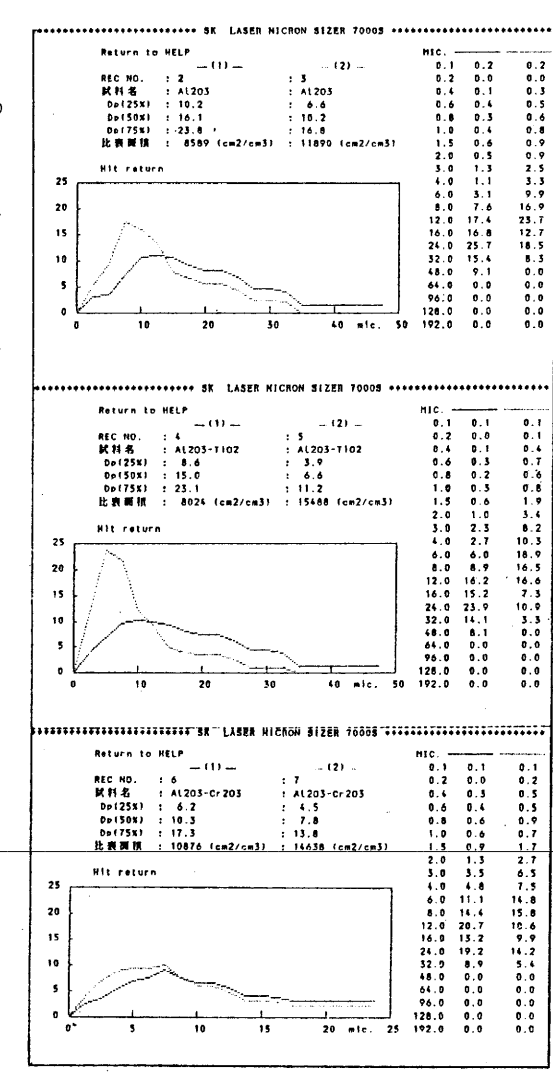


図2 溶射粉末の粉度分布

#### 2. 3 溶射方法

プラズマ溶射機は80KW出力。セラミックスパウダーは、Under coatにNi-Mo-Al系のものを使用。溶射方法については、選定した粉末に適した表3のメーカ推奨条件である。なお、Under coatは、どの溶射剤およびどの粒度の場合でも共通している。

溶射後は、2.2項で示した表1 のE(研磨の度合)の表面粗さとなるように加工した。また封孔処理は表面粗さを測定してから実施した。これは、過去のかじり摩耗試験機による実験から、セラ

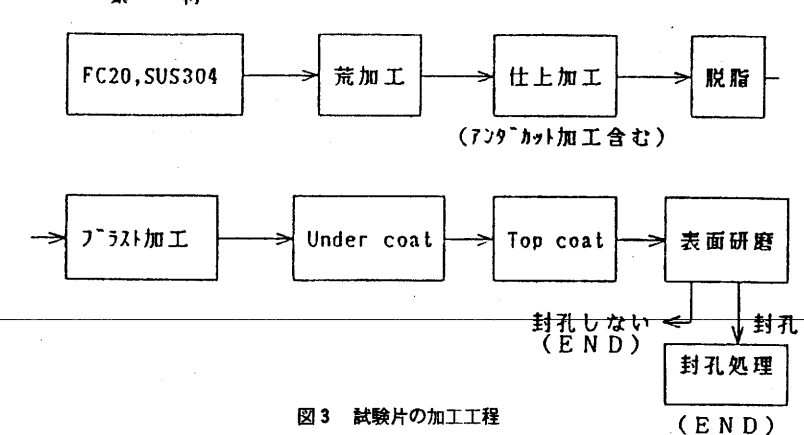
ミックス内部に浸透していない接触面上の封孔剤が摺動時には潤滑的な役割を果たす接触面間の中間介在物となること、また試験の最終段階を考えれば、封孔処理前に表面粗さを測定する方が意味があると考えられたからである。

以上、摺動子の加工工程をまとめると図3のようになる。

表 3 溶射条件(Top coat)

. 溶	溶射剤ア				アルミナ・ (6:		アルミナ・クロミア (1: 1)	
粒	( μ	度 m)	小 (15~5)	坤 (25~8)	小	中	小	中
ガノガ溶溶溶	射	ンル名離液圧	9 M B G H Ar/H <sub>2</sub> 65mm 500A 65V	厨 左 " " " 70V	9 M B G H Ar/H <sub>2</sub> 65mm 500A 65V	同 左 " " " 70V	9 M B G H Ar/H <sub>2</sub> 65mm 500A 65V	同 左 " " " 70V

素 材



#### 2. 4 表面組さ

#### 1) 固定子

溶射しない固定子(SUS304)の表面 粗さは、Ra=0.24  $\mu$ m、Rmax=2.  $84 \mu \, \text{m}$ , R z = 2.02  $\mu \, \text{m}$  c  $\delta_0$ 

#### 2) 摺動子

摺動子の表面粗さは、▽▽、▽▽▽、 ▽▽▽&ラピグの3種類であるが、研磨 は#140 (大) と#600 (小) のダイヤモ ンド砥石を使い、▽▽▽&ラピグについ ては#600で研磨後、ダイヤモンドペー ストでラッピングした。図4は、摺動子 18種類の表面粗さを測定し、各研磨の度 合毎にデータをまとめた結果であり、こ れにより表面粗さの度合を確認した。

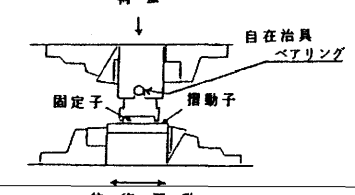
#### 3. 試験方法

溶射面の摺動特性を調べるのに使用した試 験機は、図5で示される試験ができる(株) 京都試作研究所製の油圧式微動凝着型のかじ り摩耗試験機である。図のように、上部から 負荷された固定子と左右に往復運動するテー ブルトにバイスにより取り付けられた摺動子 によって摺り合せ試験ができるようになって いる。 固定子に作用する荷重は図6の間欠 モード方式にしたがって順次増加させた。2 項で記載しなかったその他の試験条件は表4 のとおりである。

試験時の負荷方法は、いきなり大きな面圧 をかけるのは問題であり、実用化であるから、 まず耐えられそうな荷重で実施すべきであろ うと考えられるが、面圧を固定した試験では、 知りたい特性があまり測定できず効率的と言 えない。また、この試験の目的は、摺動に耐 えうる荷重の最大値を調べ、セラミック溶射 面の摺動性を評価すること、そして適切な溶 射材料の選択によって、ステンレス鋼のかじ り対策としてセラミックスが有効かどうか検

	∇ ∇ 1	Ø n-1	
Ra	0.77	0.25	
Raas	8.53	2.60	
Rz	6.73	1.63	
	<b>x</b> ∇ ∇	<b>σ</b> η-1	
Ra .	0.27	0.15	And the second state of the second se
Rmax	4.08	1.29	
Rz	3.01	1.06	
⊽∇	V & 5:	(t 'ン∲'' (f n−1	
Ra	0.25	0.15	المعاملة والمعارضة والمنازع وا
Rmax	3.75	1.49	1:11
Rz	2.86	1.20	

図4 摺動子の表面粗さ



往復運動 図5 試験片の取付状態



固定子 : SUS304. ▽▽▽ 摺動子のアンダ-コート : Ni-Ho-Al系 試験条件 ; 乾式, 自在治具 摺動距離 40mm/1摺動

表 4 その他の条件

討することが狙いである。

そこで、初期荷重をこれまでの試験条件より低く設定し、試験時の荷重を漸増方式とした。初期荷 重100kgf、荷重増分約30kgf摺動である。

以上の条件で、18種類の試験片組合せについて、かじり摩耗試験を行った。また、反復時には摺 動速度を20%ダウンさせた。試験は、摩擦力が250kgfに達したときの荷重値と試験中の摩擦力の変 化を記録した。

#### 4. 実験結果

#### 4. 1 試験データ

表5は各試験片組合せにおける摺合せ 試験の結果である。表中のSN比は、計 測データを評価するためのレベル値で、 最終摺動時の最大押付荷重を望大特性、 また摩擦力のグラフから読み取った1摺 動時の摩擦力(摺動中の最大値)を望小 特性として扱った。

ここで、SN比変換は次式に従った。

#### o 望大特件

 $\eta = -10 \log \left[ \frac{1}{n} \sum \left( \frac{1}{v_i} \right)^{-2} \right] \cdots 1$ 

#### o 望小特性

表5 実験データとSN比

<b>#</b>	母溶粒 封研 材 孔磨 の針 処の	1 雅 集 時 の 単 独 カ	量 大 排付荷里
L	材 理度	kgf SNH	kgf SN#L
1	質剤度 合		
No.	ABC DE	nl n2 7 (db)	nl n2 η(db)
1	111 11111	250 250 -47.96	150 140 43.21
2	112 22222	85 84 -38.54	435 400 52.39
3	1121333333	160 176 -44.52	275 295 49.08
4	121 12233	80 187 -43.16	225 165 45.49
5	122 23311	115 57 -39.16	1020 855 57.84
6	1 2 2 1 3 1 1 2 2	176 184 -44.61	295 300 49.17
7	131 21323	90 72 -38.22	430 440 52.77
8	132 32131	71 180 -41.85	330 290 49.77
9	132113212	31 31 -29.83	1200 1215 61.64
10	211 33221	183 187 -44.87	845 305 51.82
11	212 11332	250 250 -47.98	135 150 43.04
12	2131'22113	124 85 -40.53	385 400 51.63
13	221 23132	78 109 -39.53	1240 515 58.56
14	222 31213	154 177 -44.40	275 295 49.08
15	2 2 26 1' 1 2 3 2 1	116 250 -45.80	280 145 45.06
16	231 32312	112 140 -42.08	320 270 49.30
17	232 13123	37 40 -31.72	1215 1105 61.26
18	2321'21231	112 104 -40.87	365 365 51.47

 $\eta = -10 \log \left( \frac{1}{n} \sum yi^2 \right) \cdots 2$ 

ただし、 n :繰返し数 yi :各データ

変換式で、対数をとっているのは平均 値とばらつきの効果を含むデータに加法 性を持たせるためである。

さて、表の測定データであるが、かな りばらついているデータがある。これは、 摩擦力のグラフをパターン化した単純な

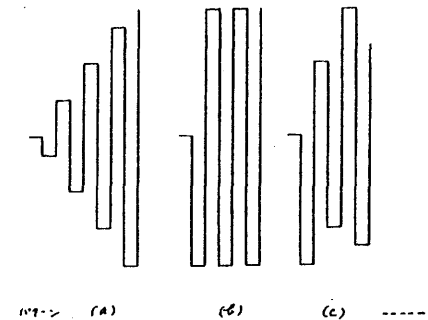


図7 魔権力のパターン

図7である程度説明できる。つまり、試験方法が荷重を漸増させる方式であるから、荷重がアップ すれば当然それにともなって摩擦力も大きくなる。しかし、この程度が顕著であるか、緩慢なのか、 また摺動中の状態が安定しているかどうか。さらに、これらが複雑に組合わさった形態などに分類 される。このうち、ばらつきの大きいものは、摺動初期の段階から相当大きな摩擦力を示し、荷重が増加してもこの状態にあまり差がなく、しかも摺動中この特性が複雑に変動していてきわめて不安定な形態に属している。従って、ある種の試験片組合せの試験においては、いつ試験が終了しても何ら不思議ではない。データがばらついていることも理解される。

#### 4. 2 データ解析

表5のSN比のデータを各特性値ごとに 直交表の解析をする。これは、かじり摩耗 特性に関係する摺動子の溶射処理条件の違 いを知るためで、試験データから2項の表 1で示した各因子の効果が定量的に把握で きるからである。

ただし、制御因子で擬水準となった粒度 Cとこれに関連する誤差については修正し た。 直交表の解析には、工業技術院計量 研究所の秦、石田の両氏によるプログラム (菱光技報、63,2.1,第25巻288-9号、P 4-6)を使用した。これは、MS-DOS/N88 BASIC上で起動するパソコンによるデータ 解析用ソフトである。 なお、計算結果は 表6,7にまとめた。

表 6 望大特性のANOVA (押付荷重)

	葽	8	f	s	v	ρ (\$)
Α	母材の材	黄	1	0.33	0.33	
В	油料	無	2	105.34	52.87	17.5
С	粒	痩	1	10.31	10.31	
D	封孔划	理	2	61.64	30.82	8.8
E	研磨の度	合	2	245.61	122.80	45.2
е	概	差	9	82.38	9.15	
е'	● 印 7 ' - 1	•	11	93.02	8.48	28.5
т	<b>台</b>	<b>B</b> †	17	505.61		100.0

表7 望小特性のANOVA(1摺動時の壁

(db)

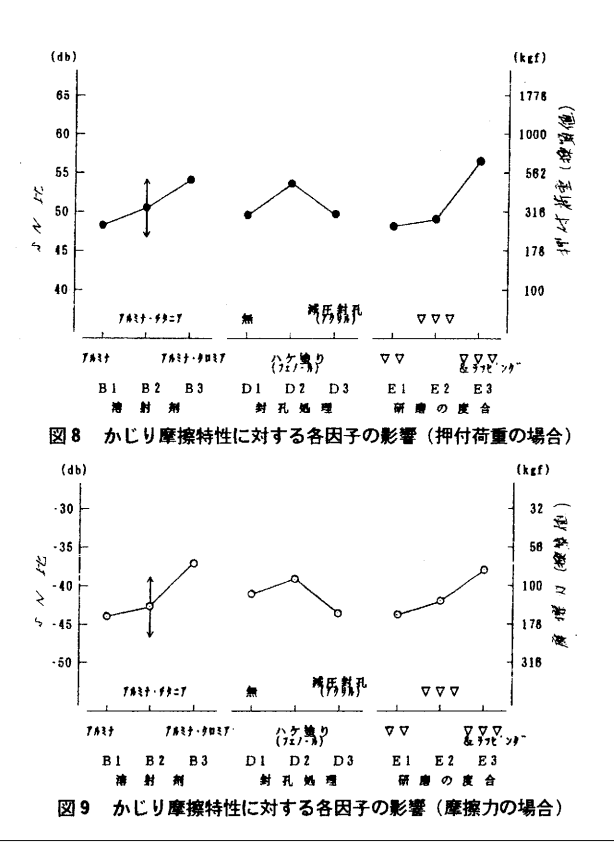
_	更	翅	f	s	v	ρ (\$
Α	母材の材	<b>X</b>	1	5.22 ●	5.22	1
В	港 射 :	N N	2	150.24	75.12	32.8
С	粒:	葽	1	5.86	5.88	
D	對孔縣	理	2	55.89	27.94	9.3
E	研磨の度は	습	2	100.52	50.26	20.3
e	<b>&amp;</b> ;	Ė	9	88.21	9.80	
е'	● 印 1 ' - #		11	99.29	9.03	37.8
т	<b>a</b> 1	+	17	405.94		100.0

#### 4. 3 かじり摩耗特性に影響する要因効果

まず、押付荷重は大きいほど耐荷重性があるとして解析した表6から、最も寄与率の大きいのが E (45.2%) で、研磨度合が良好なほどよい。ラッピングしたものが最も良かった。これについで、 密射剤 B (17.5%) である。クロミアの場合で最もよく、 溶射剤の選択に効果がある。また、封孔 処理 D (8.8%) の仕方にも影響がある。ハケ塗りをしたフェノールでよい結果となっている。この ほか、母材の材質には影響せず、また溶射剤粒度にも余り関係していないようである。

次に、1摺動時の摩擦力は小さい程、摺動性に優れると考えて解析した表 7 についてであるが、この特性値においても押付荷重の場合と同様な結果を得た。ただし、研磨の度合 E(20.3%) よりも溶射剤 E(32.6%) の選択効果の方でより寄与している。

以上の効果が認められた要因について、その水準間の傾向を図8、9に示した。



#### 5. まとめ

セラミックス溶射のバルブ摺動部への適用性を検討するため、鋳鉄およびステンレス鋼を基材にアルミナ、チタニア、クロミアを摺動子に溶射し、かじり摩耗試験機を用いた実験により溶射面の摺動性を評価した。

その結果をまとめると次のようになる。

- 1) SUS304同士では、過去の実験から約500kg「前後でかじりを生じていたのに対して、 摺動子を 溶射することによって、耐かじり 対策となることが明らかになった。
- 2) 良好な摺動条件は、溶射処理材料の適切 な選定によって可能である。3種類の溶射 材のうち クロミアが最もよく、研磨加工後、 ラッピングすればより摺動性が向上する。
- 3) 母材の影響が小さく、FC材を使用すれ ば、機能性が付与されることになる。 なお、今後の課題は比較的高価なパルプにおいて、摺動が激しく、よく摩耗すると考えられる箇 所にセラミックス溶射を適用させ、付加価値を付与させたパルブ開発を行うことである。

### [参考文献]

- 1) 矢野 宏:計測管理の実際、工業調査会 (1986)
- 2) 中山勝之、矢野 宏:バルブのかじり試験評価法の検討(標準化と品質管理、Vol. 35.1982.8)